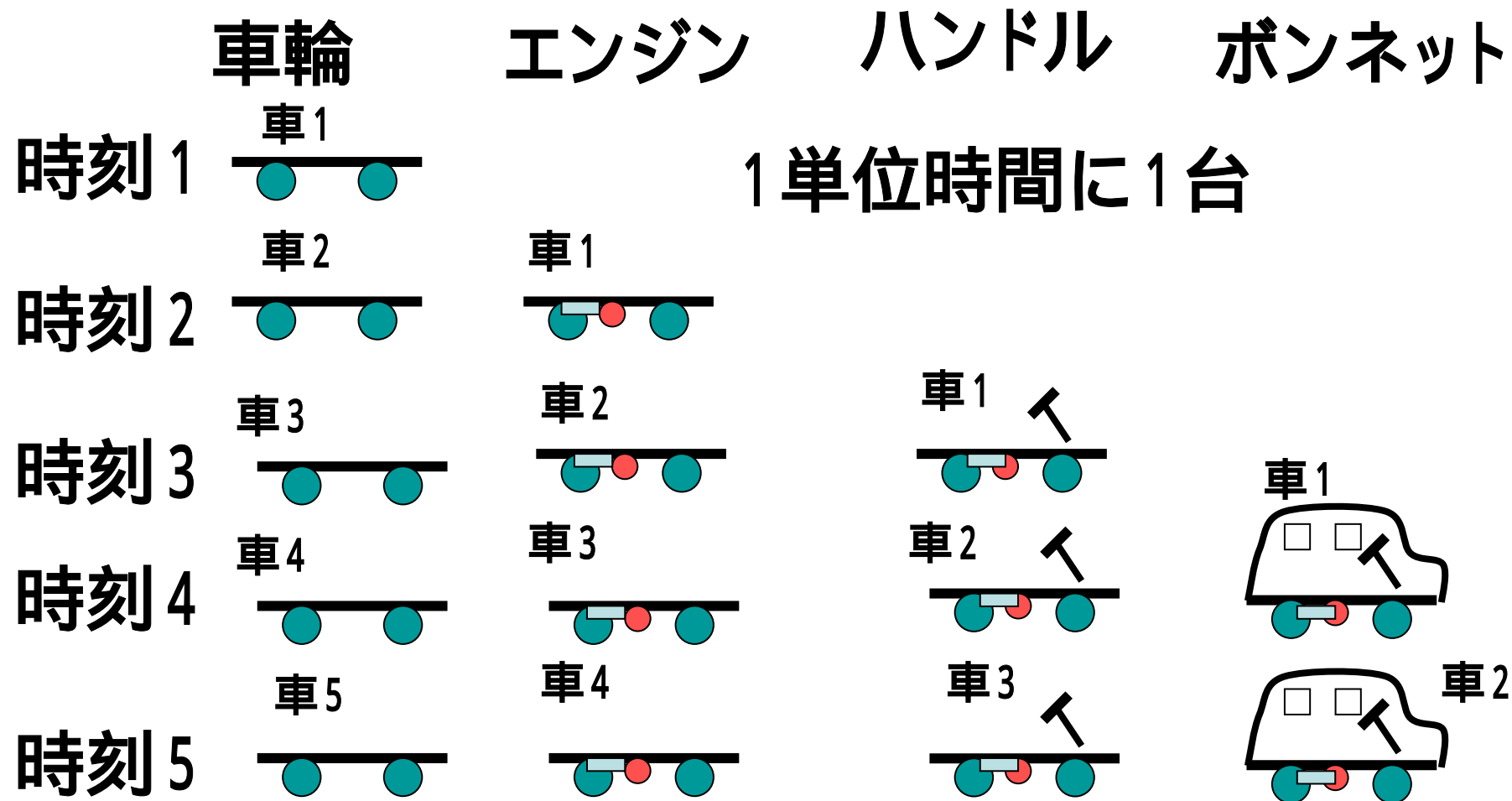


# 第4章 パイプライン方式

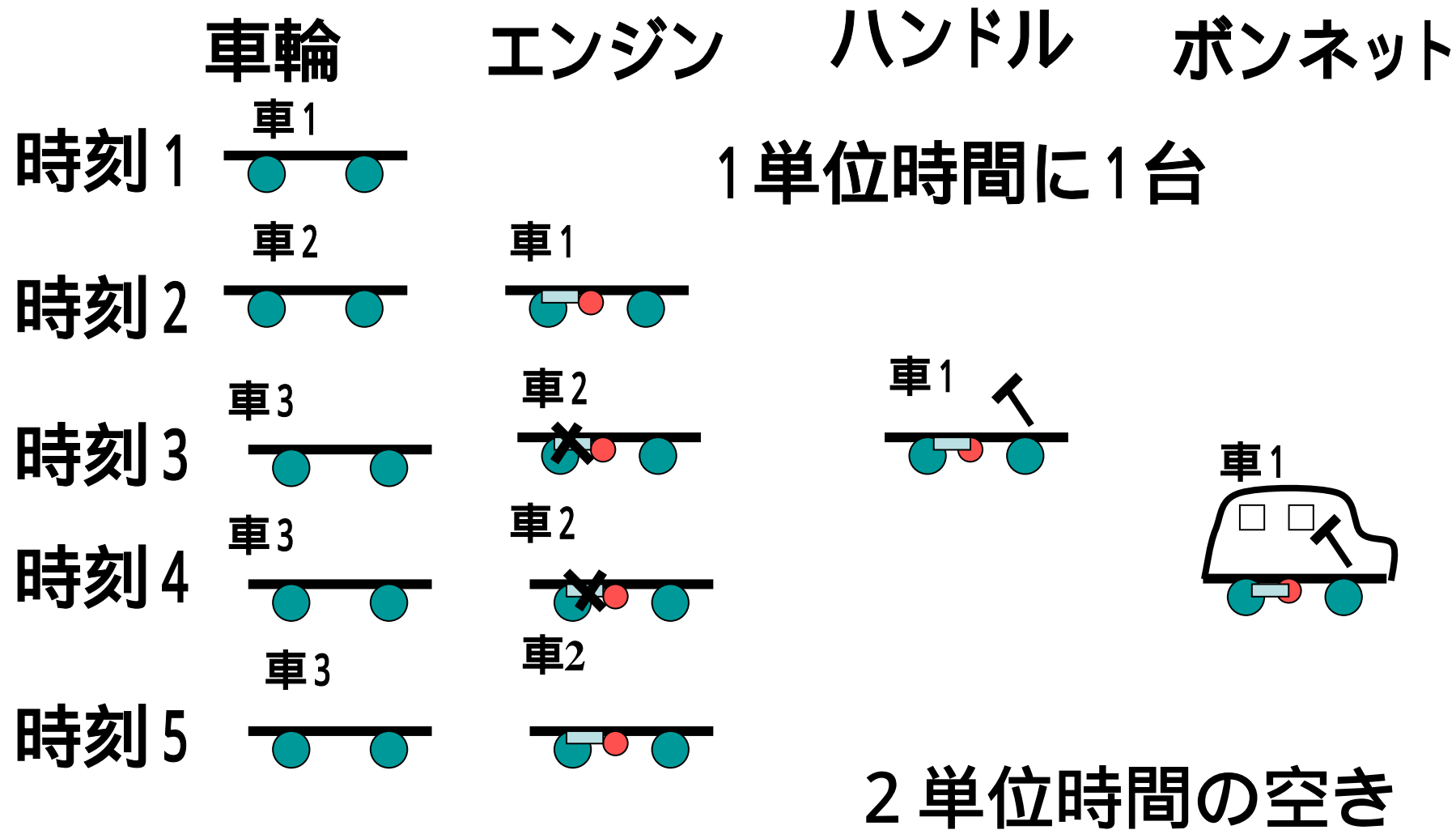
- ・スーパコンピュータ：ベクトルコンピュータ  
数値計算向きの汎用コンピュータ
  - ・プレステ2で採用
  - ・専用コンピュータ  
高速フーリエ変換、CG、画像処理、  
ソーティングなど
- 第6章

# パイプライン = 流れ作業



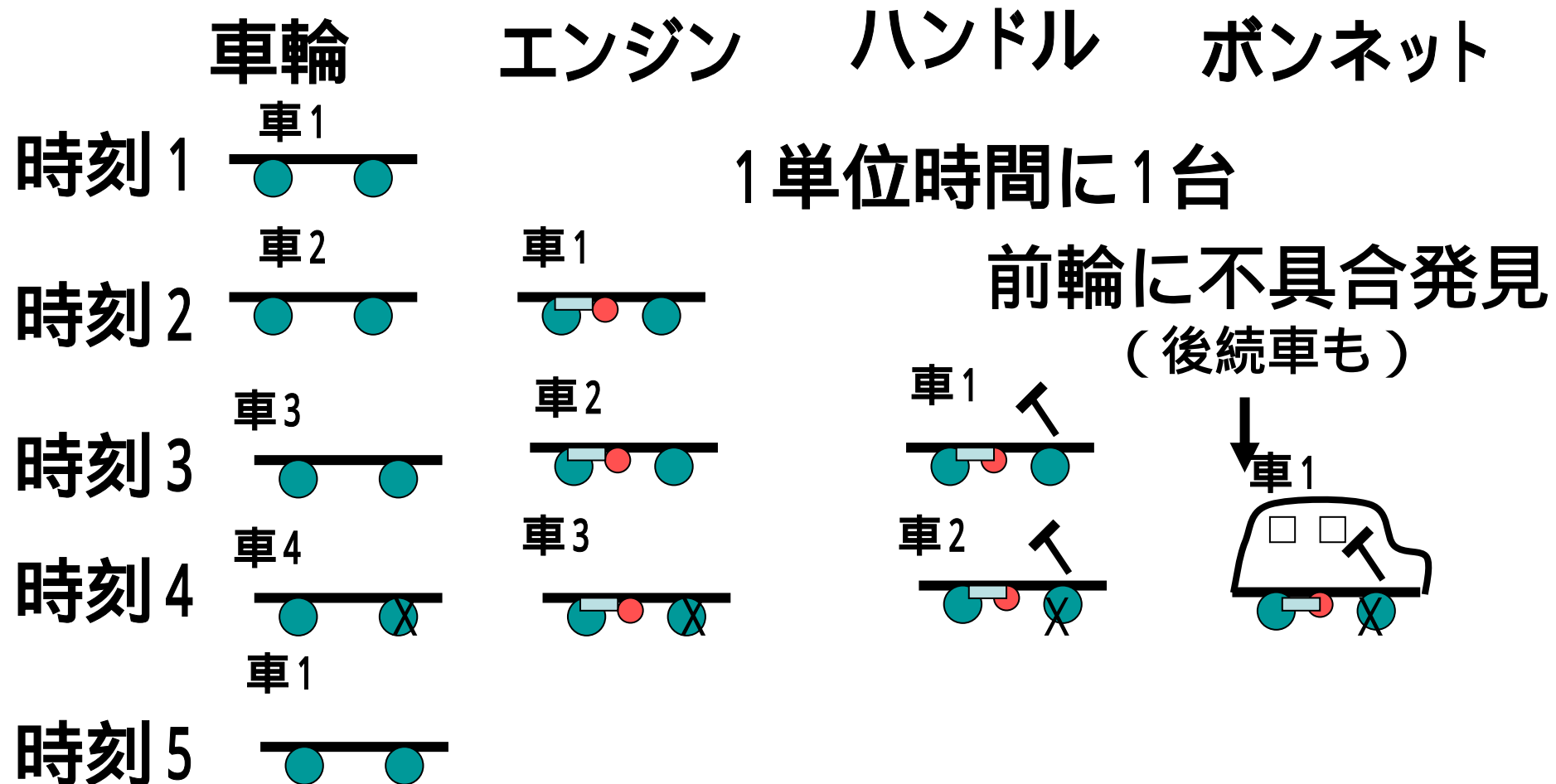
# 流れ作業の乱れ

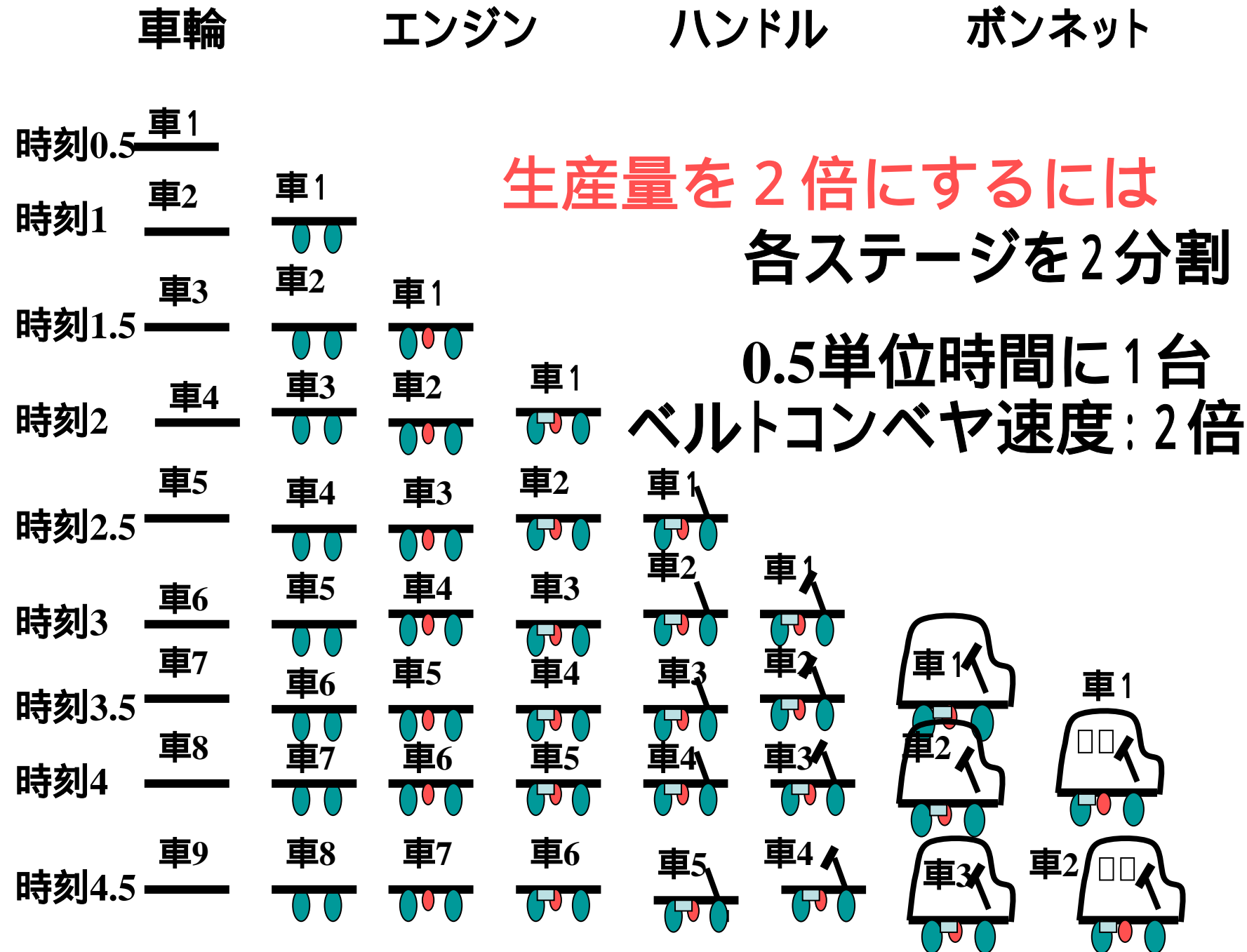
## (1) 部品調達遅れ



# 流れ作業の亂れ

## (2)検査不良による再取付け





# パイプライン型スーパコンピュータ

- ・別名:ベクトルプロセッサ(コンピュータ)
- ・ベクトルデータの高速処理

$$Z(I) = X(I) + Y(I)$$

$$T = X(I) * Y(I) : \text{内積}$$

$$T = \text{MAX}(X(I)), \text{MIN}(X(I))$$

$$X(I+1) = A(I) * X(I) + B(I) : \text{漸化式}$$

- ・線形代数:行列、ベクトル

$$AX, AB, A^T, A^{-1}$$

## ユーザ側からの普及理由

高速性：通常の計算機より 1 行以上高速

連續性：過去に作成されたFORTRANプログラムが  
そのまま利用

単純性：ベクトル演算で問題が定式化できれば  
最大性能

ベクトル：高等学校数学

汎用性：多様な数値計算分野に適応

单一性：各社ハードウェアシステムの構造が同一  
「よい」プログラムはどのスーパ  
コンピュータでも高速実行

## 4 . 1 基本方式

### (1) 同期式パイプライン

半性能長：最大性能（ $1/\tau_v$ ）の半分の  
性能となるデータ要素数

演算時間

$$T = S + (N - 1 + L) \tau_v \quad (1)$$

$$= (N + N_{1/2}) \tau_v \quad (2)$$

$$1/(2 \tau_v) = N_{1/2} / (S + (N_{1/2} - 1 + L) \tau_v)$$

スカラ演算

$$T = N\tau_s$$

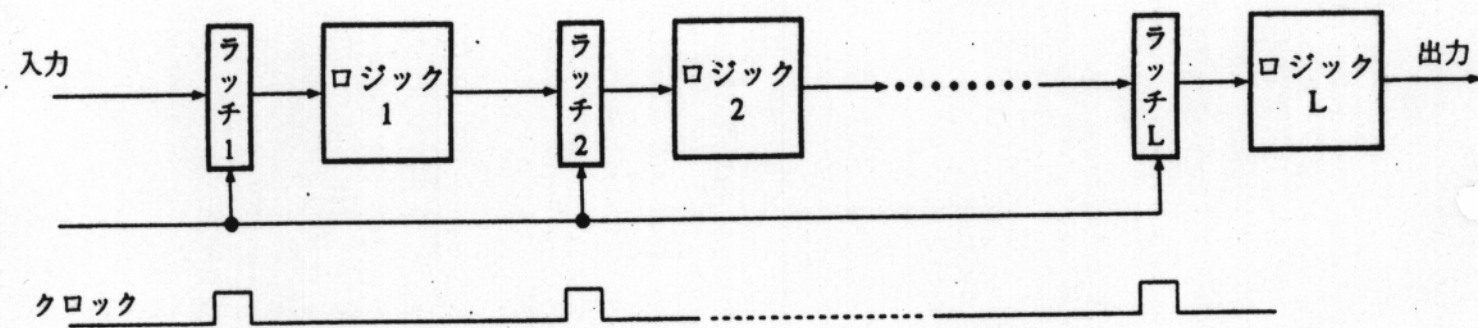
( 3 )

スカラ演算より高速

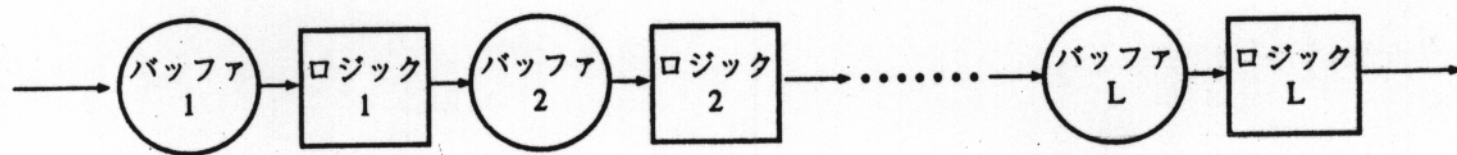
$$N = N_{1/2} / (\tau_s / \tau_v - 1)$$

( 4 )

( 2 ) 非同期式パイプライン



(a) 同期式パイプライン

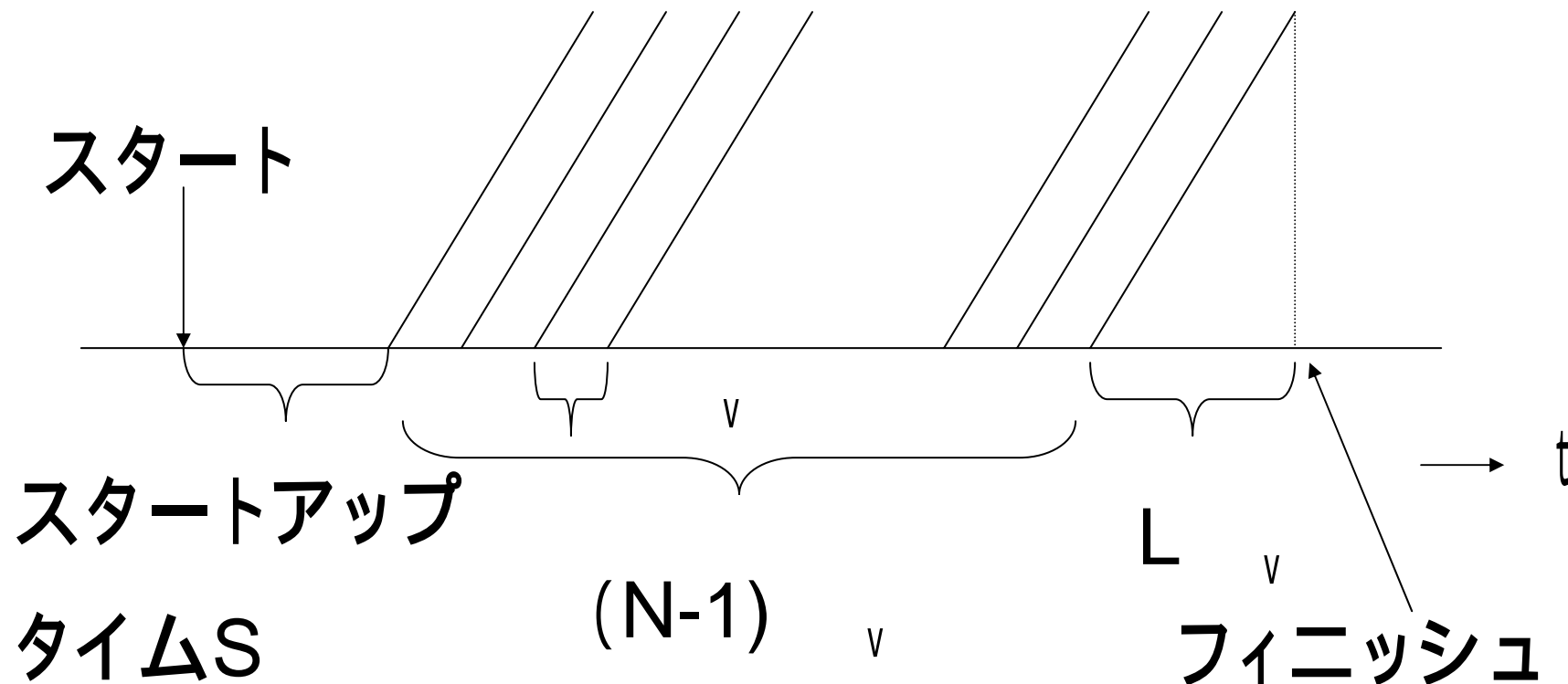


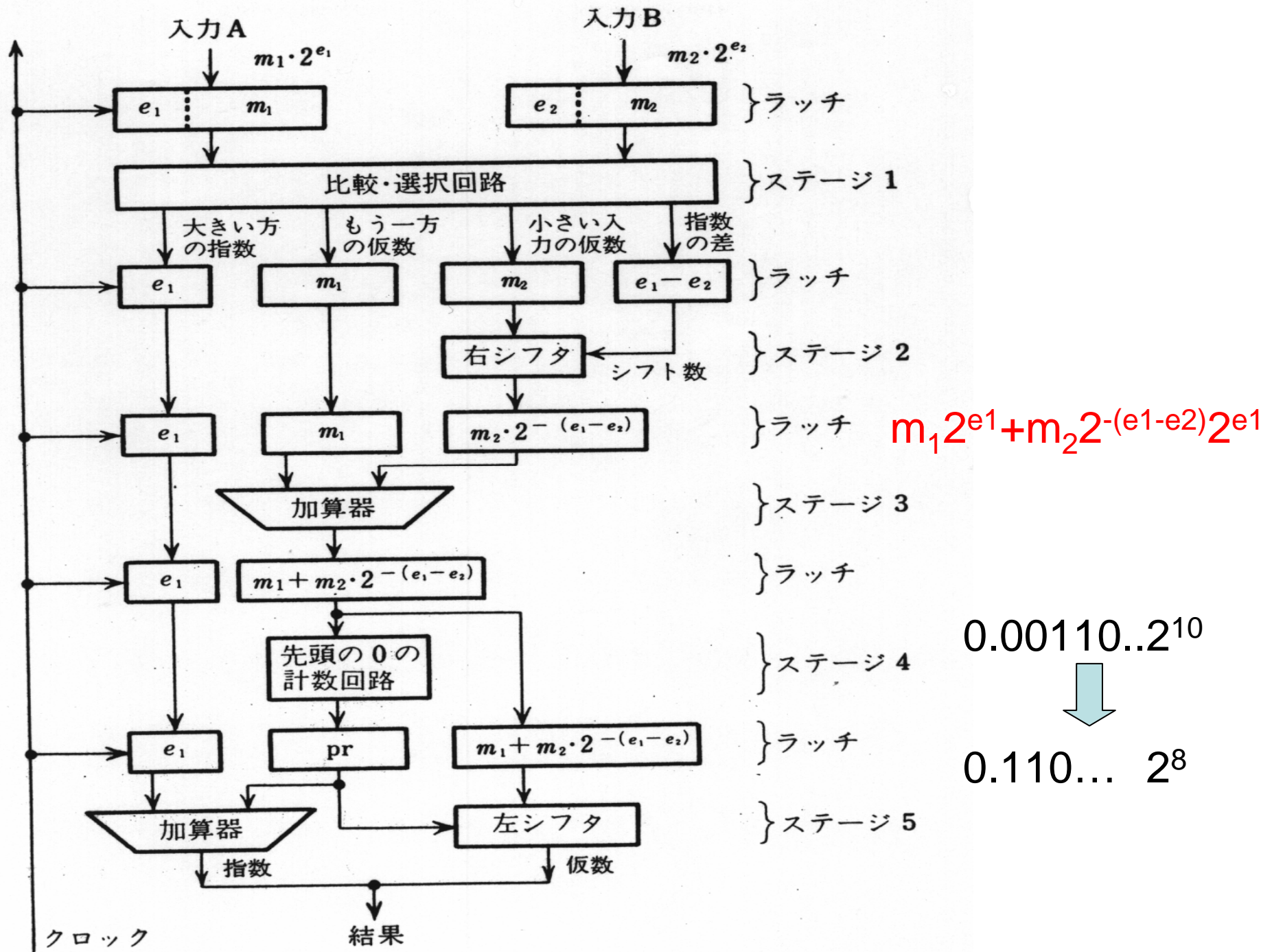
(b) 非同期式パイプライン

半性能長:最大性能( $1/v$ )の半分の  
性能となるデータ要素数  
演算時間

$$T = S + (N-1+L) \cdot \frac{1}{v}$$
$$= (N + N_{1/2}) \cdot \frac{1}{v}$$

$$1/(2 \cdot v) = N_{1/2} / (S + (N_{1/2} - 1 + L) \cdot v)$$





#### 4.2.1 基本方式

(1) ベクトルレジスタ方式 : CRAYタイプ

(2) メモリ - メモリ方式 : CDCタイプ

CRAYタイプが席巻した理由

メモリバンド幅

メモリ - メモリ方式

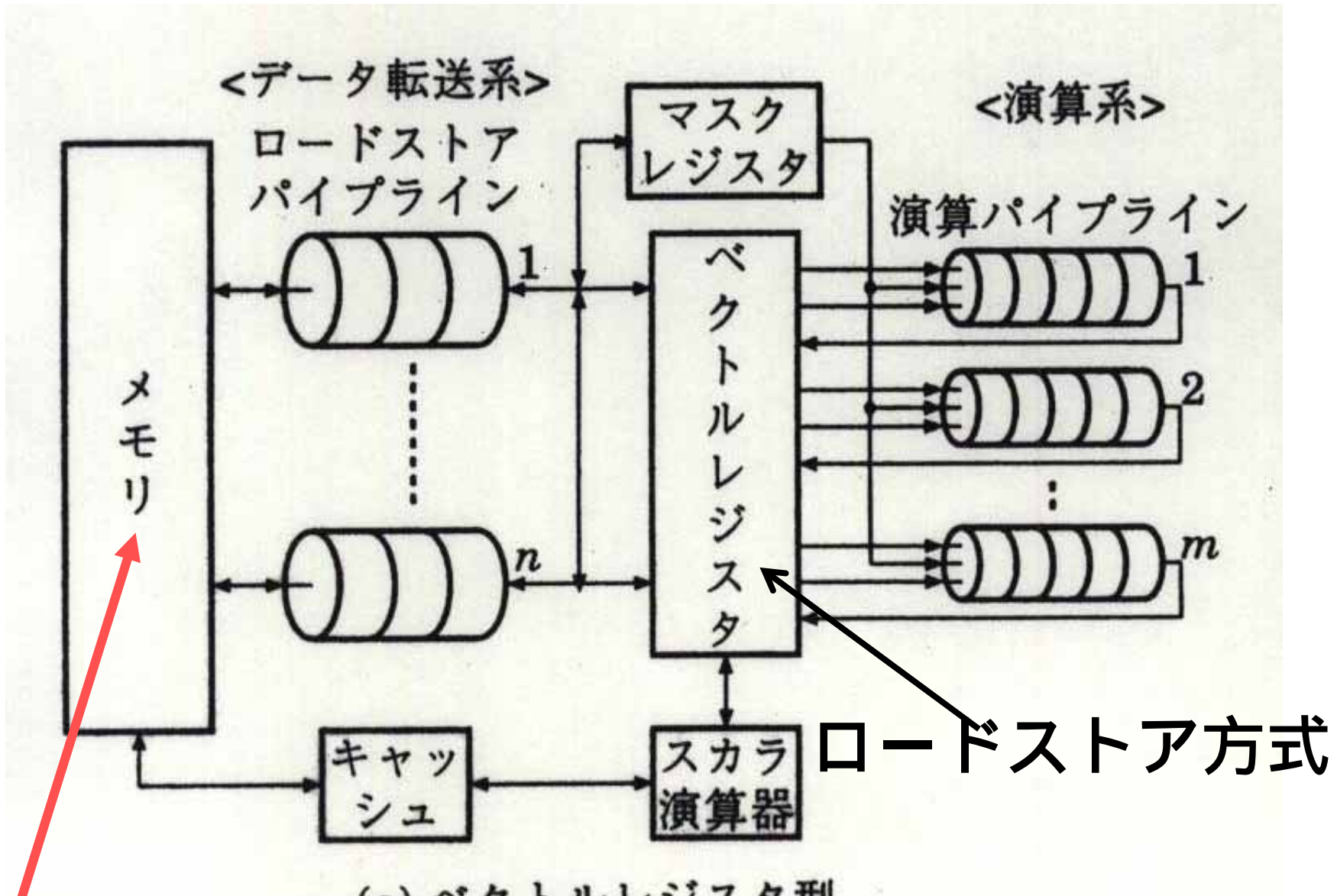
$M=3P$

(5)

ベクトルレジスタ方式 : RISC方式

$M=P$

(6)



10GFLOPSのために1000台の100nsecメモリ

# ベクトル処理の高速化

$$Z(I) = X(I)^* Y(I)$$

SET Vector Length 128

LOADV VR0 M(1000)

LOADV VR1 M(2000)

MULFV VR2 VR1 VR0

STOREV M(3000) VR2

メモリ

1000

2000

3000

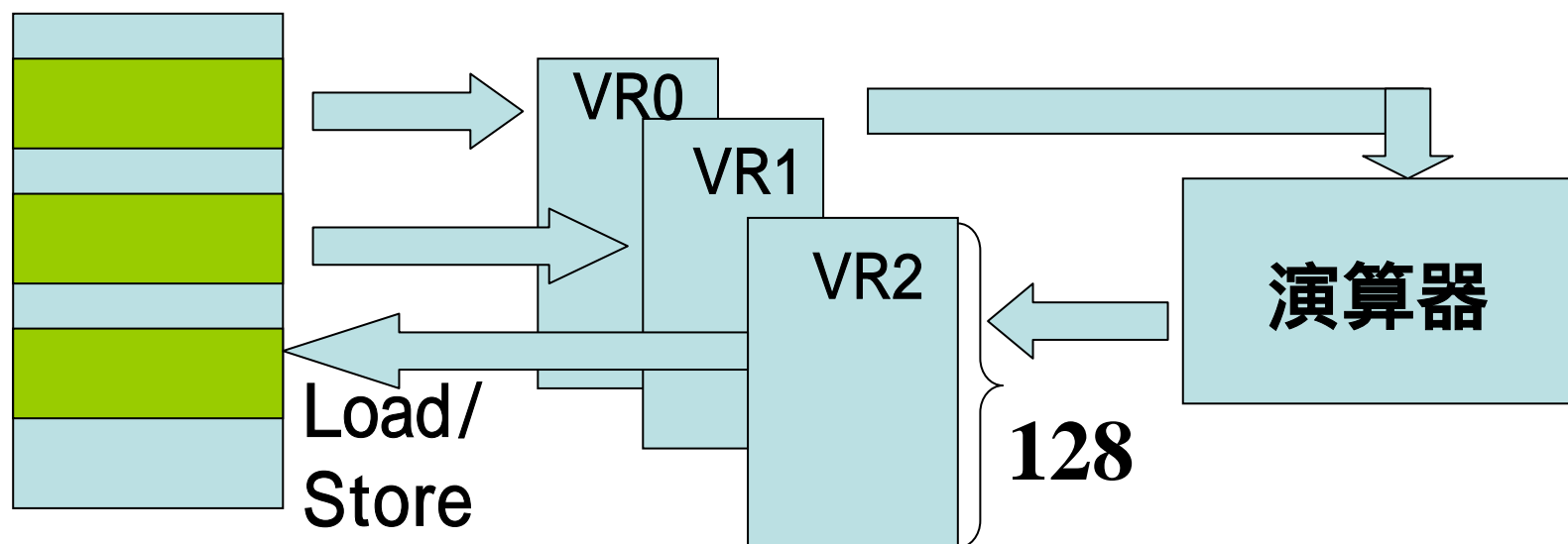


表4.1 代表的なスーパーコンピュータの諸元

機種		S-3800	VP-2600	SX-3
マシンサイクル (nsec)		2	3.2	2.5
最大性能 (GFLOPS)		32	5	25.6
プロセッサ台数		4	1	4
単体性能 (GFLOPS)		8	5	6.4
单一プロセッサ	演算パイプライン	加算/乗算 2台	加算/乗算 2台	加算 2台
		除算 1台	除算 1台	乗算 1台
		多重大度 4 *3	4 *3	4
ベクトルレジスタ (KB)		128	128	144
ロードセッサ	種類	ロード/ストア 1台	ロード/ストア 2台	ロード 2台
		ロード 1台		ストア 1台
		各パイプライン当たりの最大転送速度 2GDW/sec	1.25GDW/sec	1.64GDW/sec
当りの性	パイプライン	転送速度 (GDW/sec)		
		A(I)=B(I)	1.941	1.259
		A(I)=B(L(I))	1.004	0.382
		A(L(I))=1.0	0.583	0.265
メモリインターブ数		512	512	1024
能	初等関数計算性能			
	平方根 (メガ演算)		90.6MOPS	80.9MOPS
	(半性能長)		181.3	105.1
	SIN (メガ演算)		143.1MOPS	76.5MOPS
	(半性能長)		242.0	116.9

\*1

\*2

\*1. DW/sec = 8B/sec, ベクトル長:  $2^{18}$ の場合 (T. Uehara, T. Tsuda : Benchmarking Vector Indirect Load / Store Instructions, Proc. WBPE, pp.16-25, 1993)

\*2. MOPS = 每秒当りの関数起動回数 (T. Nagai : Benchmarking Fortran Intrinsic Functions, 同上, pp.26-32, 1993)

\*3. 複合演算有り. S-3800 の場合, 2台の加算/乗算パイプライン, 2nsecで4多重であるので, 単体プロセッサでは4GFLOPSであるが, 加算・乗算の複合演算ができる, 8GFLOPS8となっている. VP-2600でも複合演算ができる.

スタートアップタイムと半性能長  
データプリフェッチ  
長大ベクトル演算

#### 4.2.4 キャッシュメモリの 非有効性

ベクトルレジスタの導入  
メモリに等間隔アドレスでアクセス  
必要なデータを予めプリフェッチ

## キャッシュメモリの有効性

1024 × 1024 の 2 次元配列 A と ベクトル X の 積 B

$$B_i = \sum_j A_{ji} X_j$$

各要素データは 8B

キャッシュブロックのサイズは 64B

( すなわち 8 要素の格納が可能 )

キャッシュ容量: 18KB

1	5	125
2	6	126
3	7	127
4	8	128

番号: キャッシュブロック番号

(a) 列方向での行列要素写像

$$\begin{array}{c}
 m \text{行} \left( \begin{array}{c} n \text{列} \\ \text{C} \end{array} \right) = m \text{行} \left( \begin{array}{c} A_{m,k} \\ \text{A} \end{array} \right) \left( \begin{array}{c} n \text{列} \\ \text{B}_{k,n} \\ \text{B} \end{array} \right)
 \end{array}$$

Diagram illustrating the mapping of matrix elements in column-major order. Matrix  $C$  (m rows, n columns) is shown as a vertical column of blocks. The  $m$ th row block is labeled  $C_{m,n}$ . Matrix  $A$  (m rows, k columns) is shown as a horizontal row of blocks. The  $m$ th row block is labeled  $A_{m,k}$ . Matrix  $B$  (k rows, n columns) is shown as a vertical column of blocks. The  $k$ th row block is labeled  $B_{k,n}$ . The diagram shows that the mapping from  $C$  to  $A$  is row-major, and from  $A$  to  $B$  is column-major.

(b) 行列積

## 単純なプログラム

```
DO 10 I=1,1024  
DO 10 J = 1 , 1024  
B(I) = A(I, J) * X(J)  
10 CONTINUE
```

## 改良プログラム

```
DO 10 I = 1 , 1017 , 8  
DO 10 K = 1 , 4  
DO 10 J = 256 (K - 1) + 1 , 256 K  
B(I) = B(I) + A(I, J) * X(J)  
B(I + 1) = B(I + 1) +  
A(I + 1, J) * X(J)  
.....  
B(I + 7) = B(I + 7) +  
A(I + 7, J) * X(J)  
10 CONTINUE
```

タイミング法

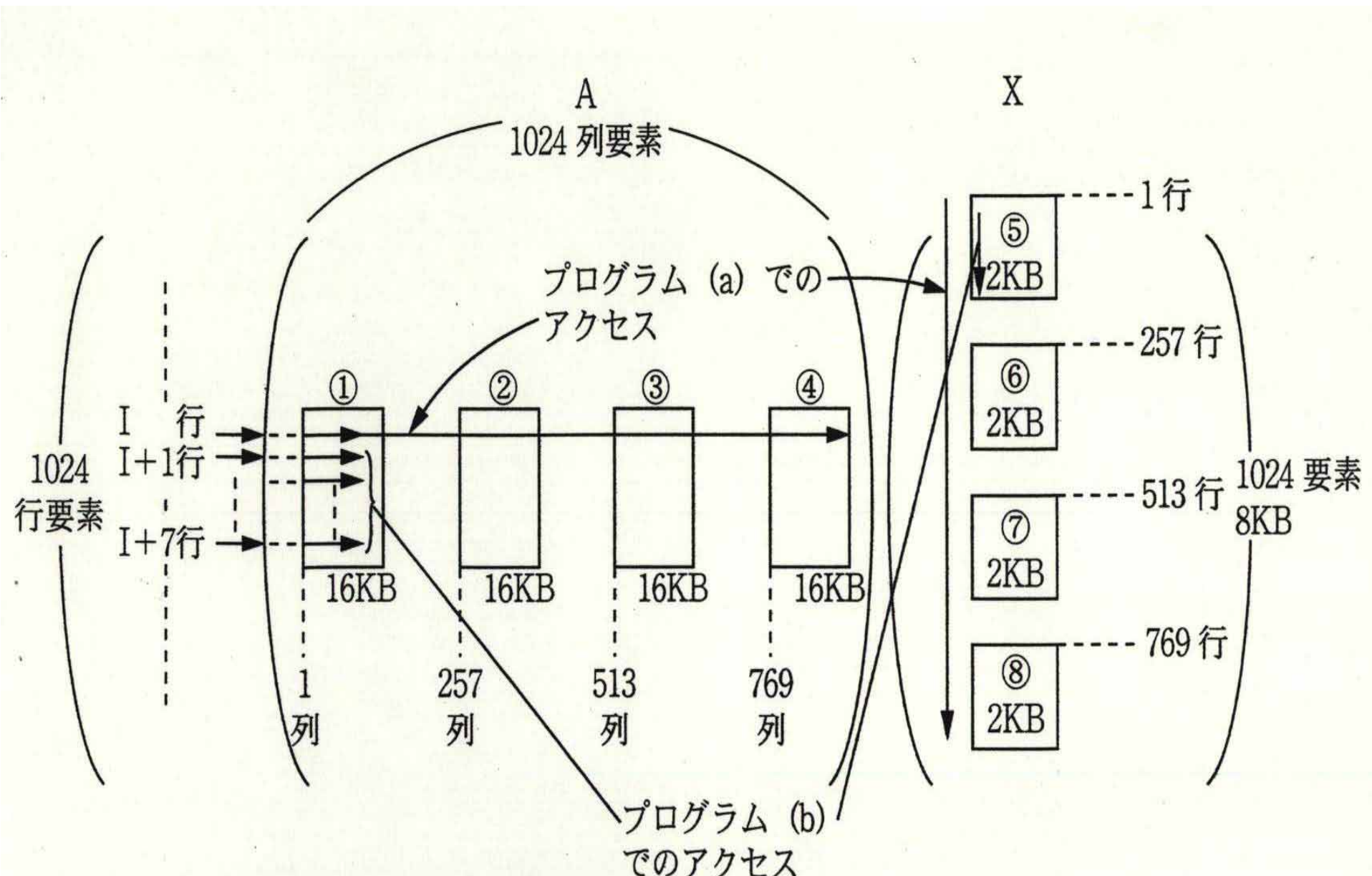


図 4.23 行列ベクトル積

## 4.2.5各種手法

### 高速化、汎用化、特殊化

#### (1) 高速化手法

マシンサイクルの短縮化

1976年のCRAY-1:12.5nsec

2001年発表のSX-6:2nsec

パイプラインの並列化

パイプラインでの多重化

4 ~ 8 多重

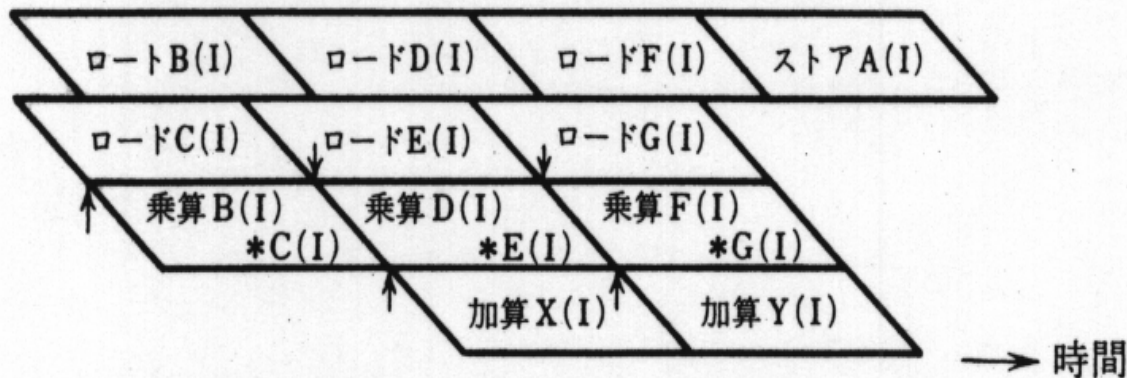
チェイニング機能

パイプラインの複合化

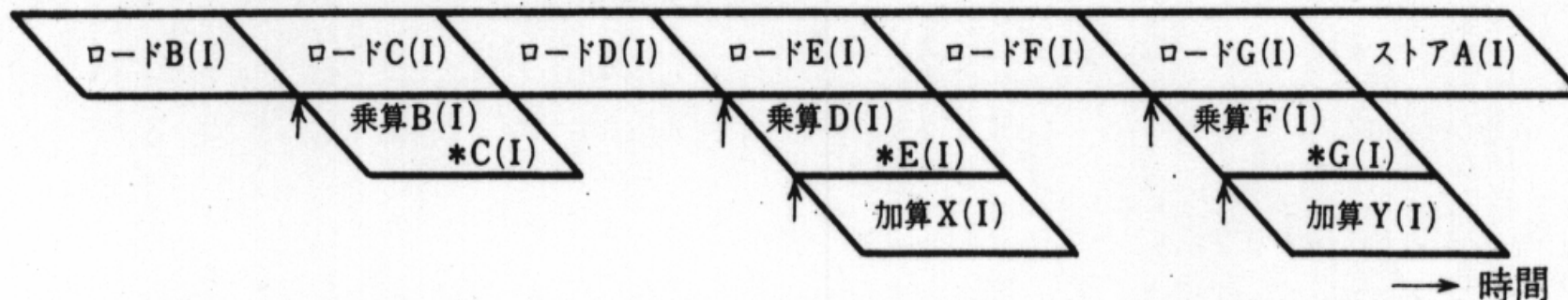
積和演算

DO 10 I = 1, N  
 $10 A(I) = B(I) * C(I) + D(I) * E(I) + F(I) * G(I)$

(a) ロード/ストアパイプラインが2本の場合



(b) ロード/ストアパイプラインが1本の場合



$X(I) = B(I) * C(I) + D(I) * E(I)$ ,  $Y(I) = B(I) * C(I) + D(I) * E(I) + F(I) * G(I)$   
 →: チェイニング操作の開始点

## スカラユニットの高速化

### アムダールの法則

$$K / \{\alpha + (1-\alpha)K\} \quad (7)$$

$\alpha=90\%$ 、 $K=$  で性能向上率は 10 倍

V L I W 方式、R I S C 方式

### パイプラインの共用

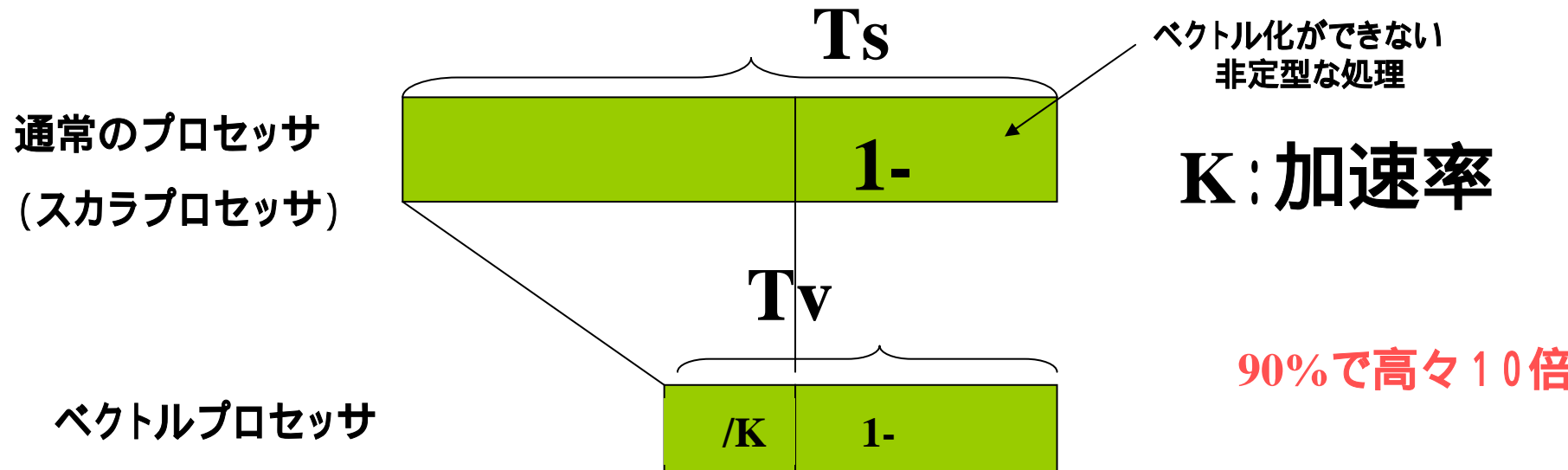
ベクトル化率：90%

パイプライン稼働率：50%

- ・デュアルスカラープロセッサ方式
- ・マシンサイクルレベルでのパイプラインの時分割利用：漸化式などの回帰演算

## 7.4.2 ベクトルプロセッサの泣き所: アムダールの法則

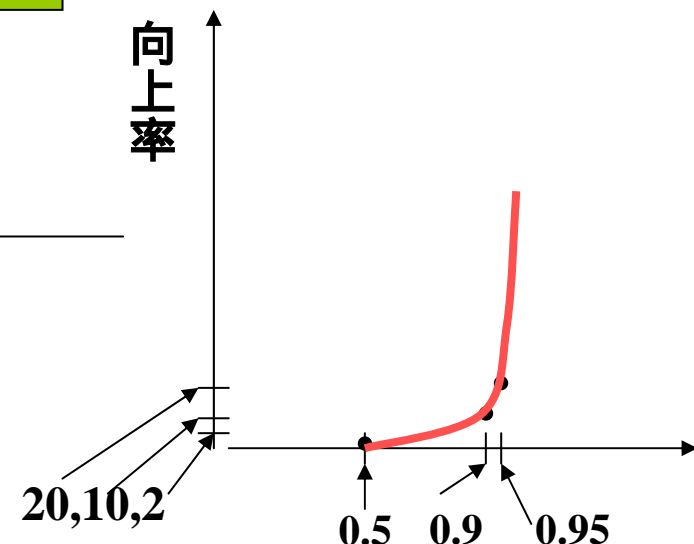
ベクトル化率( )が高くないとダメ



性能向上率

$$T_s/T_v = \frac{1}{1 - + /K}$$

通常のプロセッサも高速の  
必要: 二重苦



メモリの高速化

　　インタリーブ方式：512、1024バンク

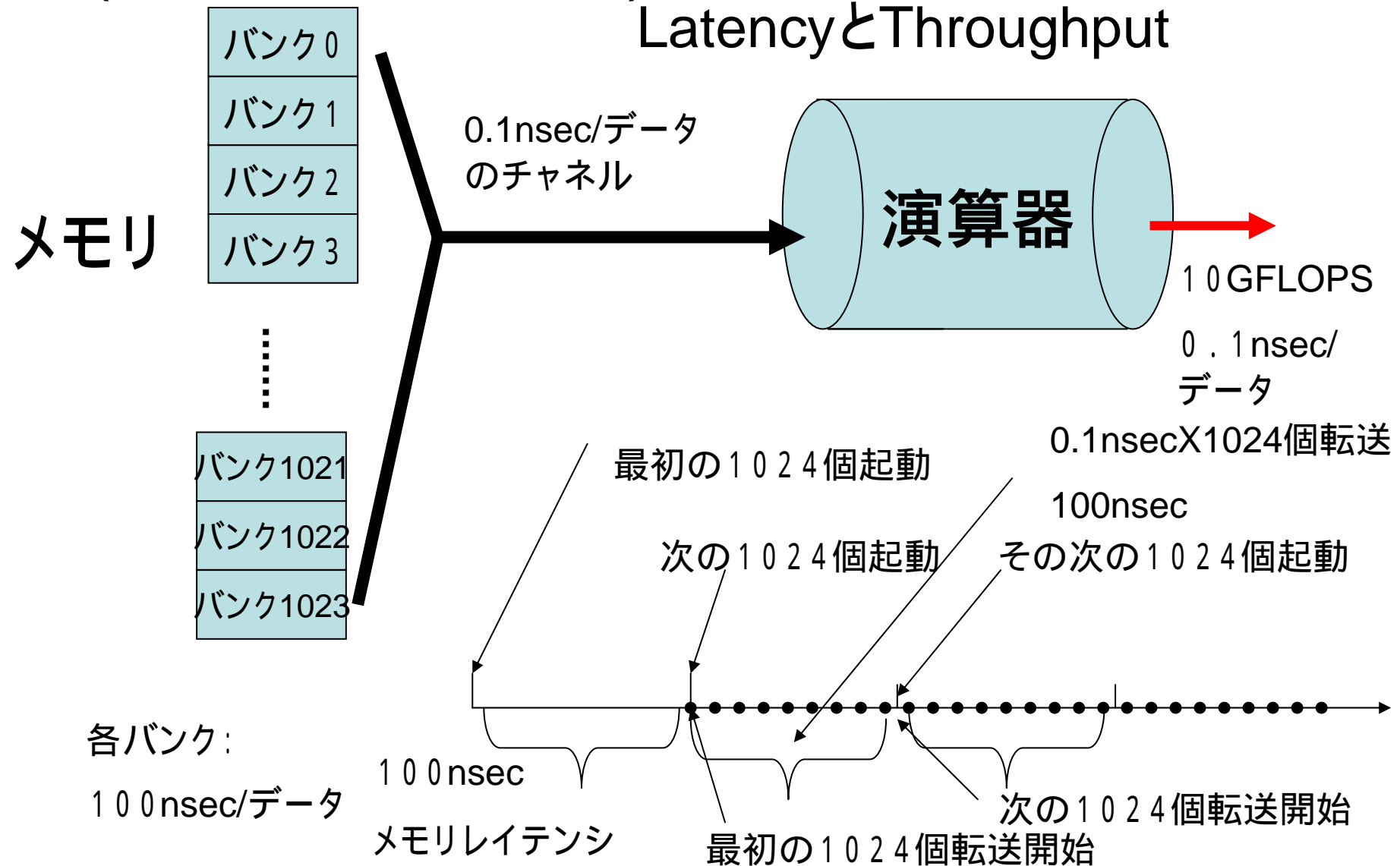
　　拡張メモリ

マルチプロセッサ化

　　ノード：数PEで構成、共有メモリ化

　　システム：複数ノードで構成、メッセージパッシング

# スーパコンピュータ: 1024バンク構成 (ベクトルプロセッサ)



バンク内アドレス

3	$a_{41}$	$a_{42}$	$a_{43}$	$a_{44}$
2	$a_{31}$	$a_{32}$	$a_{33}$	$a_{34}$
1	$a_{21}$	$a_{22}$	$a_{23}$	$a_{24}$
0	$a_{11}$	$a_{12}$	$a_{13}$	$a_{14}$

メモリバンク

( a )

バンク内アドレス

4	$a_{42}$	$a_{43}$	$a_{44}$	$a_{45}$
3	$a_{33}$	$a_{34}$	$a_{35}$	$a_{41}$
2	$a_{24}$	$a_{25}$	$a_{31}$	$a_{32}$
1	$a_{15}$	$a_{21}$	$a_{22}$	$a_{23}$
0	$a_{11}$	$a_{12}$	$a_{13}$	$a_{14}$

メモリバンク

( b )

## ( 2 ) 汎用化手法

ベクトル化支援機構

等間隔ベクトル

スキュードメモリ方式

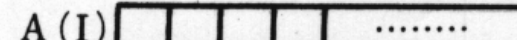
ベクトルの収集、拡散

マスク付き演算

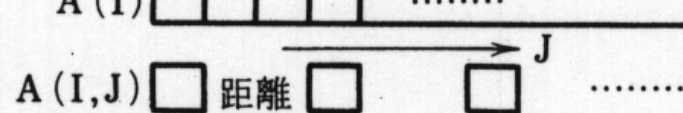
リストベクトル

- ・疎行列の処理
- ・リスト処理
- ・クラス分けや部分集合に対する演算
- ・多重ループの一重化

(a) 連続ベクトル

$A(I)$  

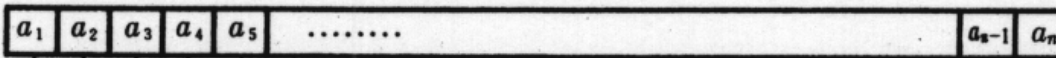
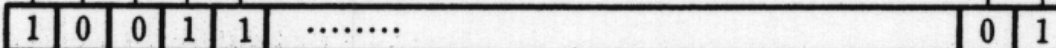
(b) 等間隔ベクトル

$A(I, J)$  

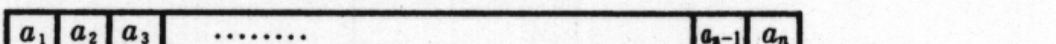
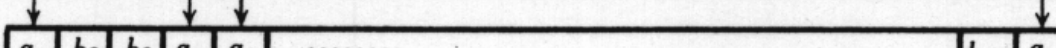
(c) リスト(間接)ベクトル

$IX(I)$  

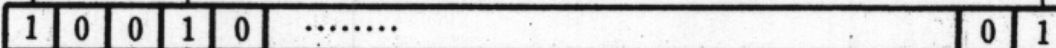
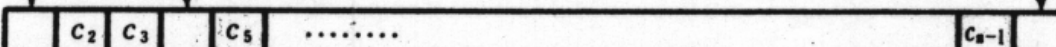
(d) ベクトルの収集

$A$    
ベクトルマスク 

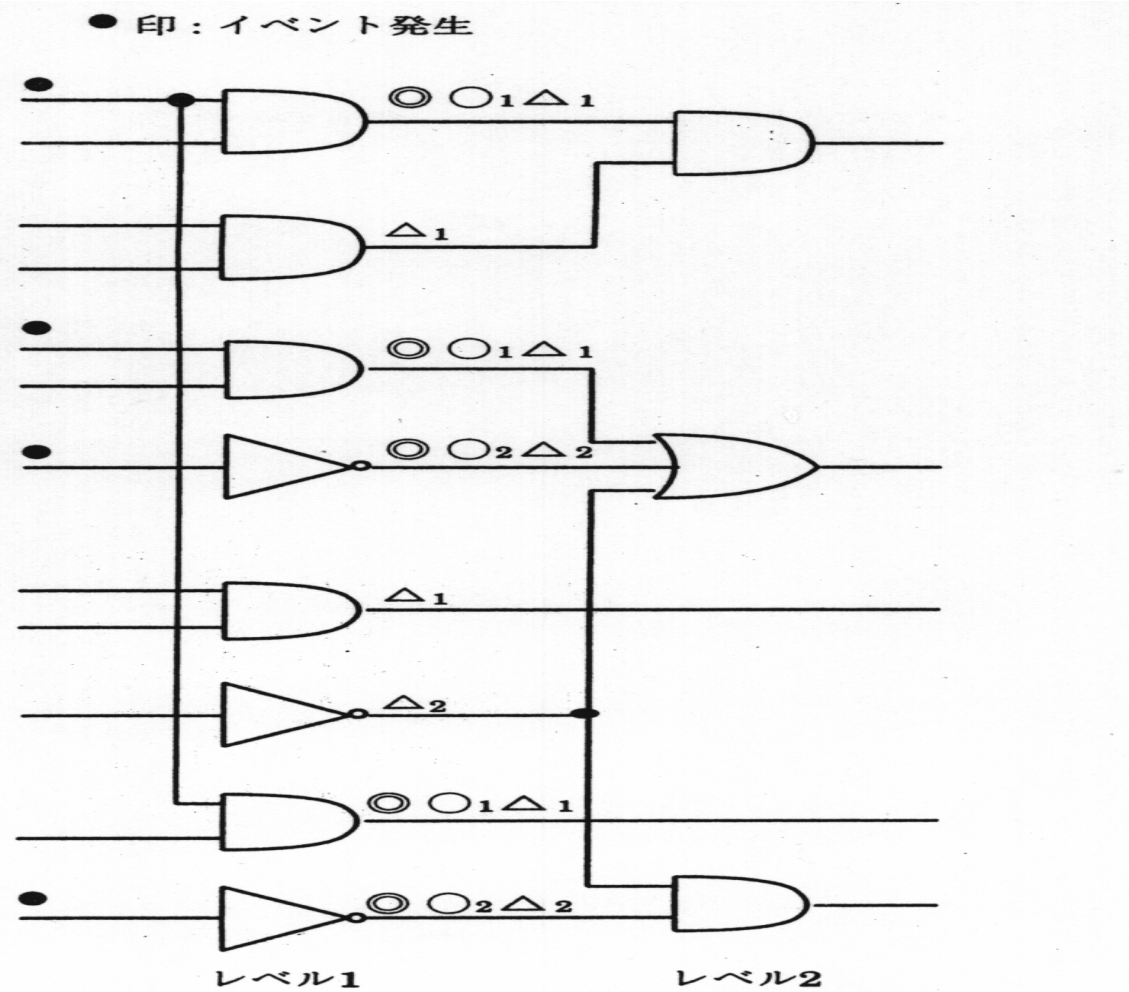
(e) ベクトルの拡散

$A$    
ベクトルマスク   
 $B$  

(f) マスク付きベクトル演算

$A$    
+   
 $B$    
ベクトルマスク   
 $C$    
 $a_1 + b_1$   $a_4 + b_4$   $a_n + b_n$

### (3) 特殊化手法: 論理シミュレーション



○: VELVETで一つのベクトル命令での処理。  
 ○<sub>1</sub>, ○<sub>2</sub>: イベント駆動方式で二つのベクトル命令で処理  
 △<sub>1</sub>, △<sub>2</sub>: コンパイラ方式で二つのベクトル命令で処理。

図 6.27 スーパコンピュータによる論理シミュレーション

日立： Velvet

演算パイプラインの考え方を止揚

スーパコンピュータの機能の利用

リストベクトル

- ・各レベル間での結線情報の処理

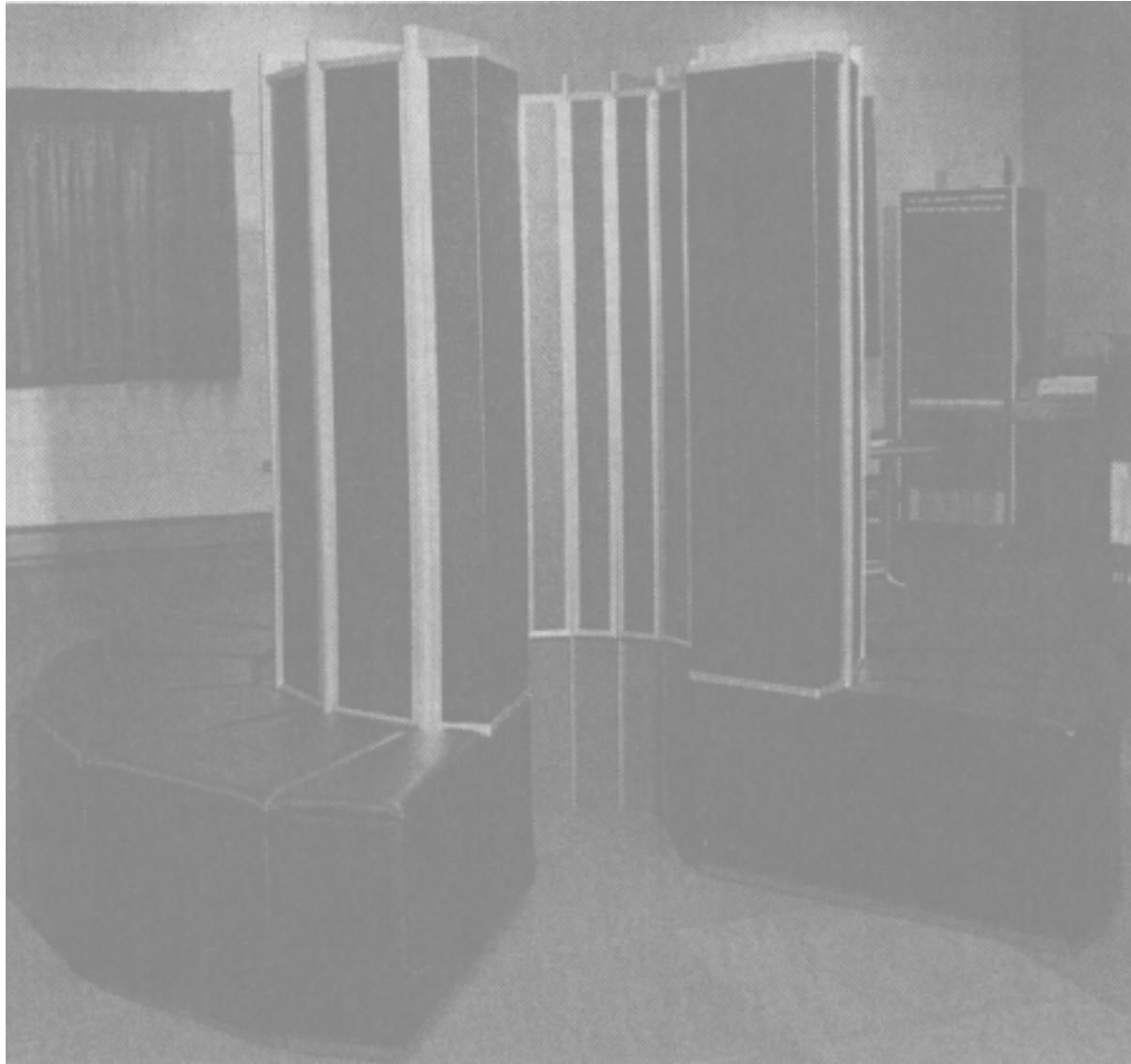
マスクレジスタ

- ・イベントが生じたゲートのマーク

ベクトルの収集・拡散

- ・イベントが生じたゲートのみへの処理

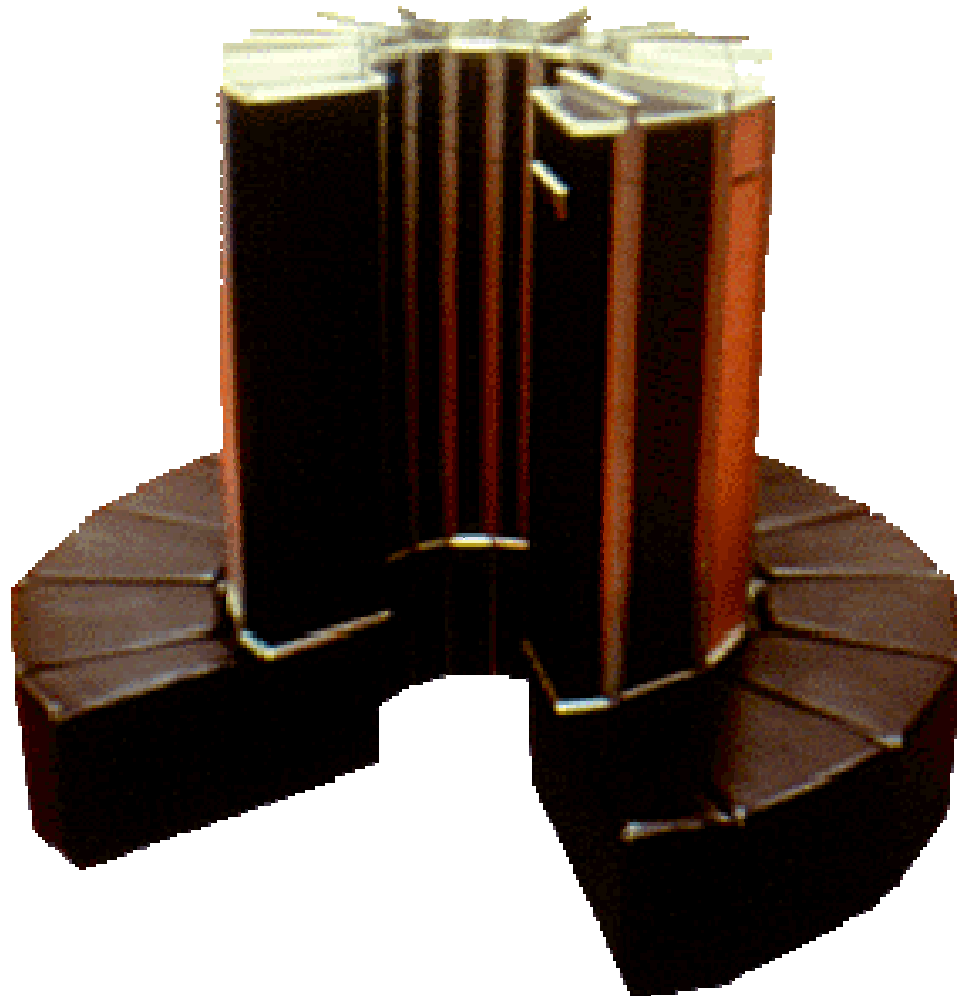
Cray-1 1976 12.5 nsec 160 MFLOPS



The World's Most Expensive Love-seat

CACM Vol21, No.1, 1978, pp. 63 - 72

パイオニア:Cray-1 1976、マシンサイクル12.5  
nsec、160MFLOPS



The World's Most Expensive Love-seat

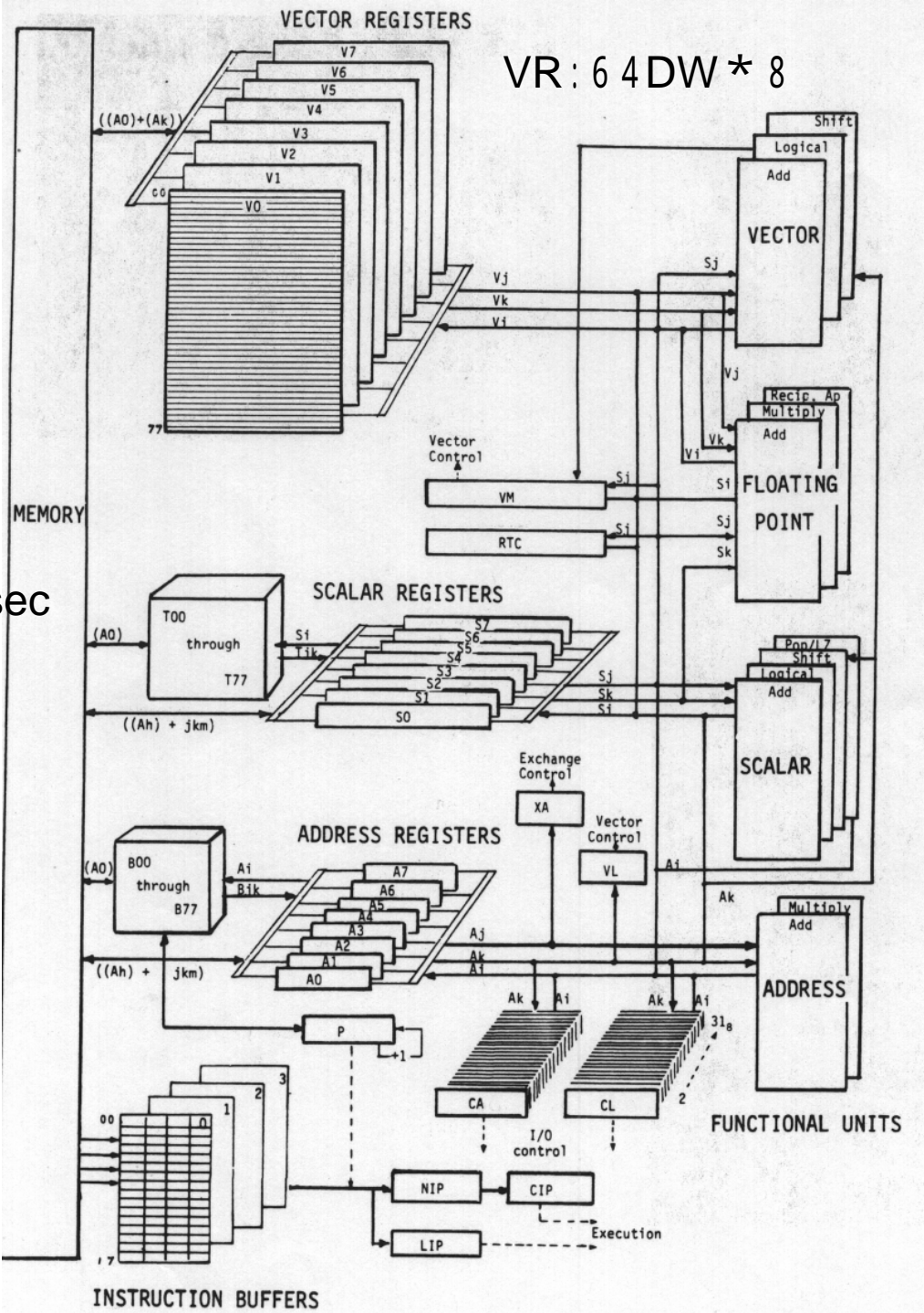
CACM Vol21, No.1, 1978, pp. 63 - 72

メモリ

8 MB

16 バンク

1 DW/12.5 nsec



1976年

12.5 nsec

160 MFLOPS

115 KW

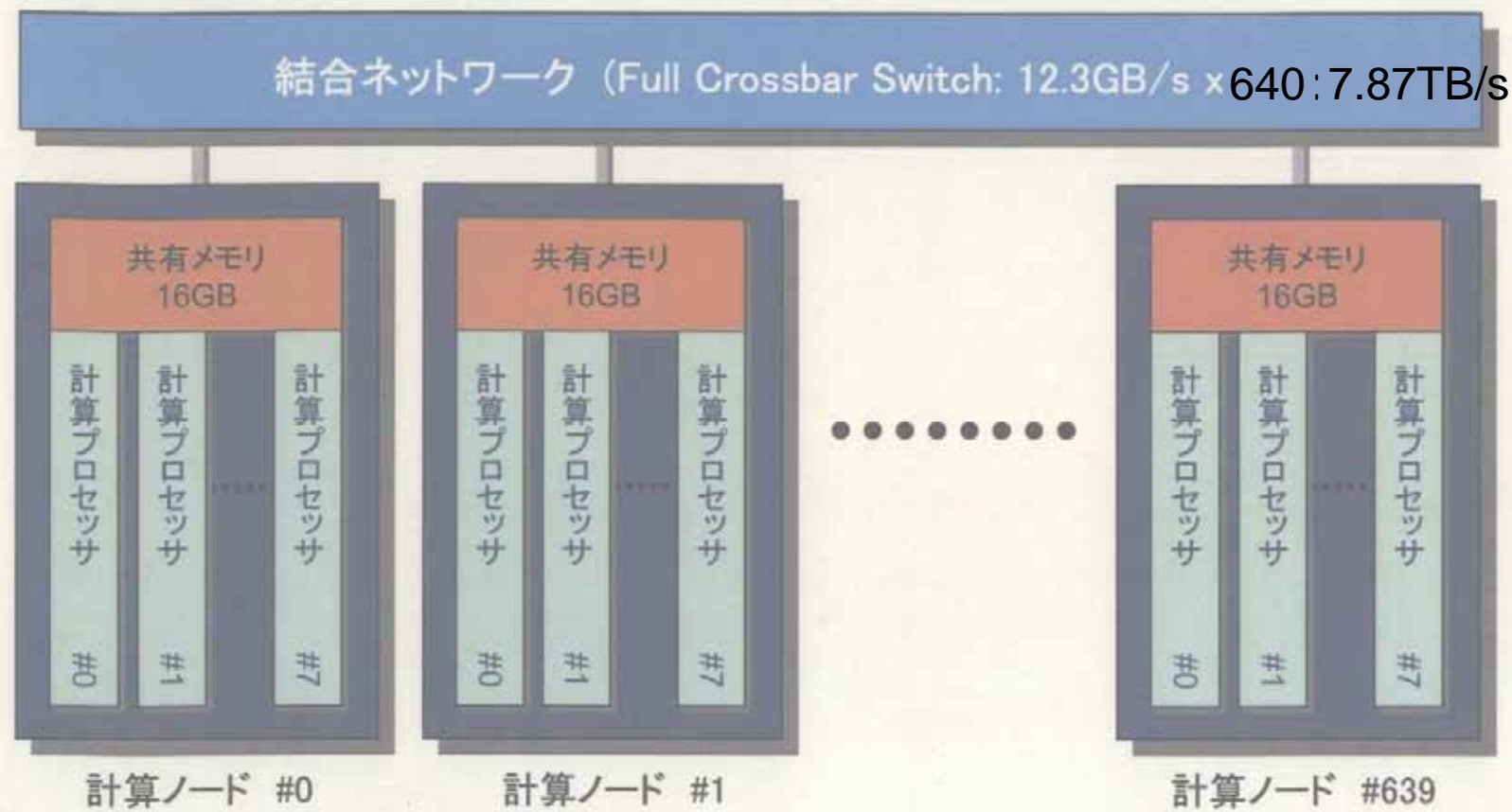
ECLロジック

# NECスーパコンピュータ

機種	年	サイクル単体性能	最大性能	台数
Cray-1	1976	12.5ns	160MF	160MF 1台
SX-1/2	1984	6ns	1.3GF	1.3GF 1台
SX-3	1989	2.9ns	5.5GF	22GF 4台
SX-4	1994	8ns	2GF	1TF 512台
SX-5	1998	4ns	8GF	4TF 512台
SX-6	2001	2ns	8GF	8TF 1024台
(CMOSシングルチップ、8PE/1ノード、最大128ノード、 0.15 μm)				
SX-7	2002	1.8ns	11.4GF	23TF 2048台
(32PE/1ノード、最大64ノード、0.15 μm)				
SX-8	2004	0.5ns	16GF	65TF 4096台
(8PE/1ノード、最大512ノード、0.09 μm)				
SX-9	2007	0.3ns	102.4GF	839TF 8192台
( 3.2GHz、8-16PE/1ノード、最大512ノード、0.065 μm、11 層銅配線)				

# 地球シミュレータの全体構成

- ・ 総計算ノード数: 640
- ・ ピーク性能: 40TFLOPS
- ・ 主記憶容量: 10TB
- ・ 総プロセッサ数 : 5120
- ・ 計算プロセッサのピーク性能: 8GFLOPS
- ・ 計算ノードのピーク性能: 64GFLOPS
- ・ 計算ノードの主記憶容量: 16GB



# 計算プロセッサ(AP)の構成

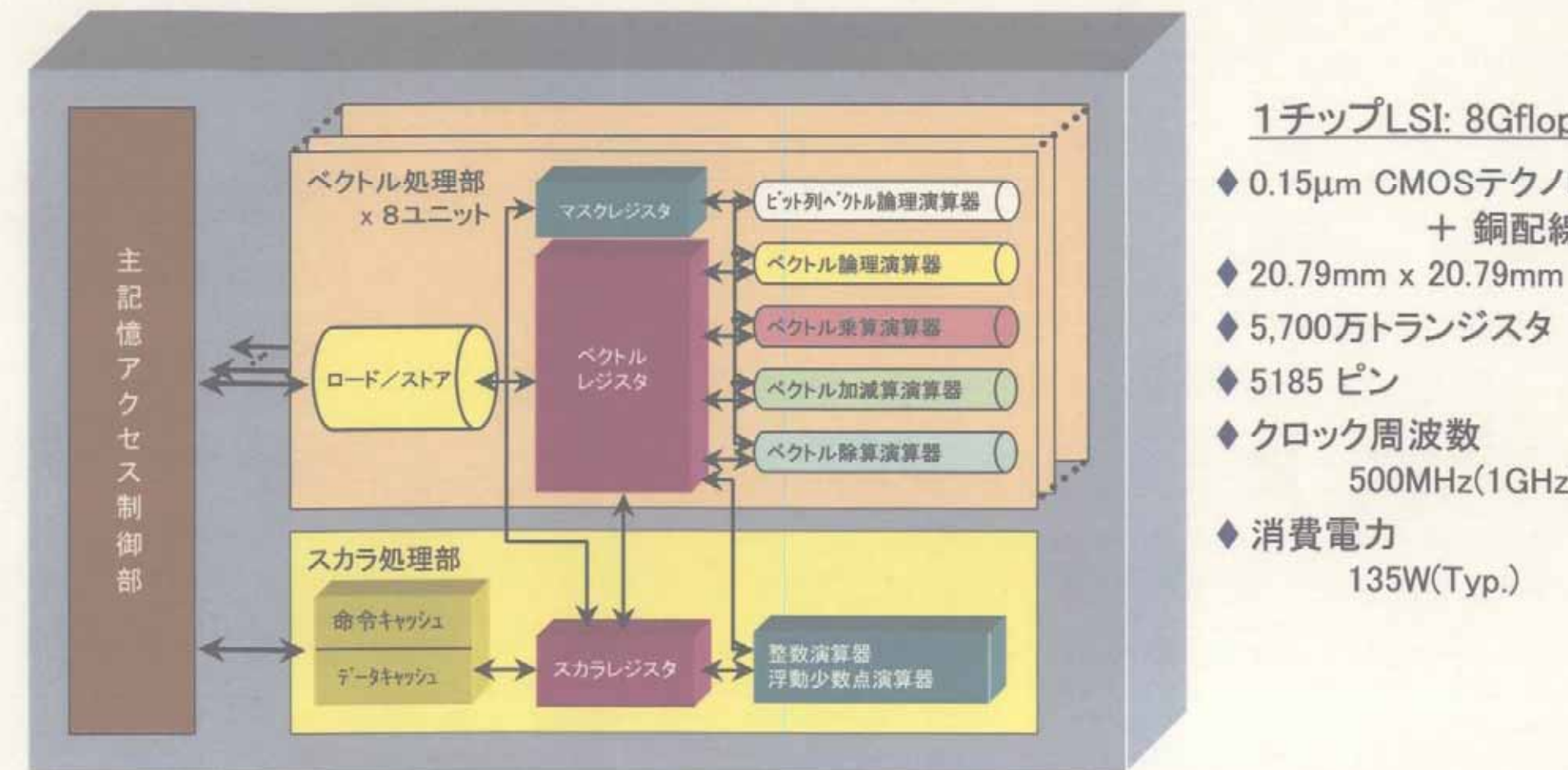
## ○ ベクトルユニット: 8セット

- ◆ 6種のベクトルパイプライン
- ◆ 256要素のベクトルレジスタ: 72個
- ◆ 256ビットのマスクレジスタ: 17個

## ○ 主記憶アクセス制御部

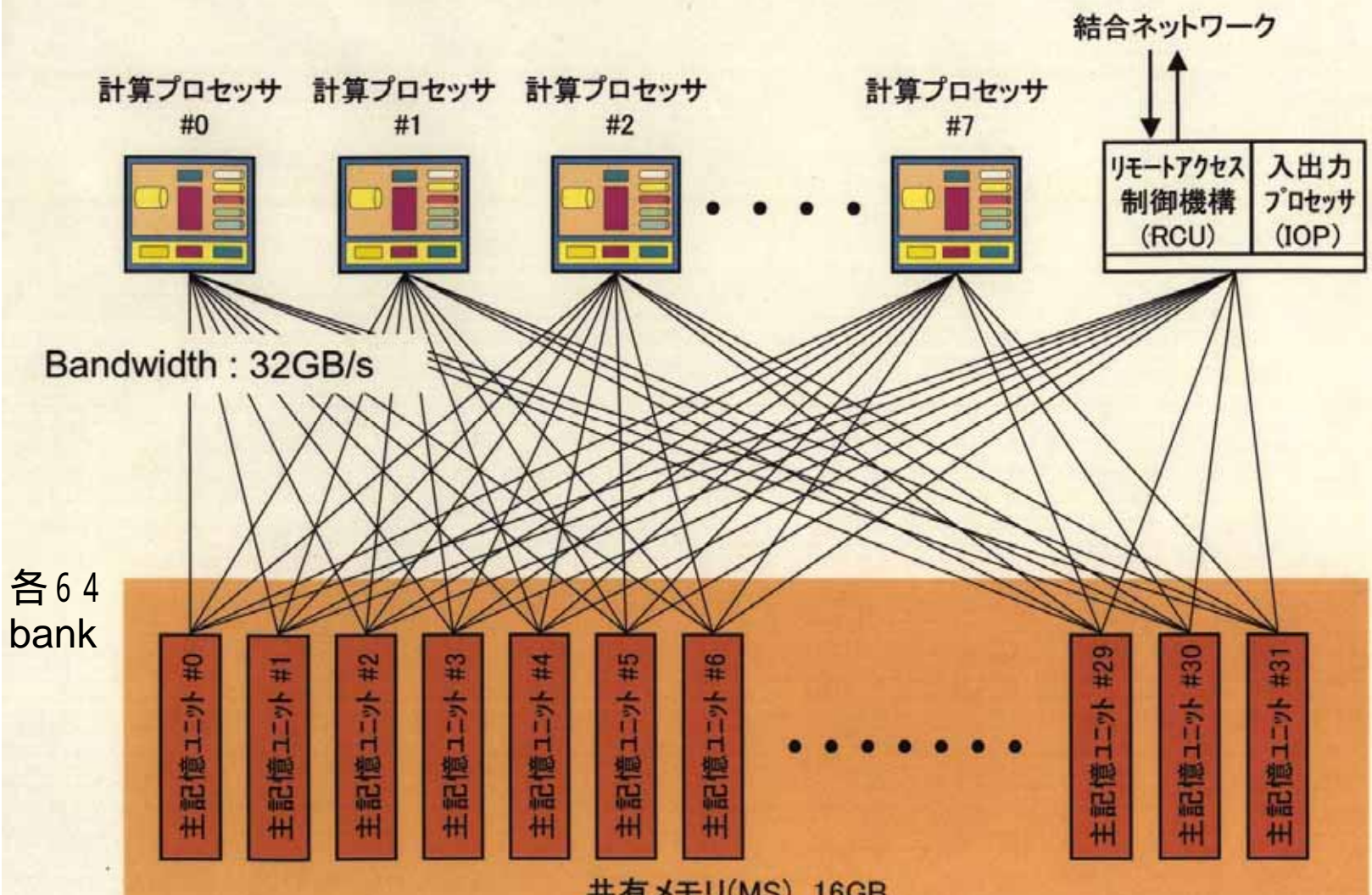
## ○ スカラユニット

- ◆ 4-ウェイ スーパースカラ
- ◆ 64KB 命令キャッシュ
- ◆ 64KB データキャッシュ
- ◆ 128個の汎用レジスタ





## 計算ノード(PN)の構成



ESRDC@JAERI

全体で 2048 バンク、24 nsec/バンク

## 4 . 3 コンパイラ

### 4 . 3 . 1 データ参照関係解析

DOループ内にm個の文、 DO 10 I 1, N

$S_1, S_2, \dots, S_m$  S 1

n回( $I_1, \dots, I_n$ )反復 S 2

逐次実行では、 10 CONTINUE

$(S_1, I_1), (S_1, I_2), \dots, (S_1, I_n),$  DO 10 I 1, N

S 1

$(S_2, I_1), (S_2, I_2), \dots, (S_2, I_n),$  10 CONTINUE  
DO 20 I 1, N

S 2

• • • • • 20 CONTINUE

$(S_m, I_1), (S_m, I_2), \dots, (S_m, I_n)$

ベクトル実行では、

$(S_1, I_1) \quad (S_1, I_2) \quad , , \quad (S_1, I_n)$

$(S_2, I_1) \quad (S_2, I_2) \quad , , \quad (S_2, I_n)$

...

$(S_m, I_1) \quad (S_m, I_2) \quad , , \quad (S_m, I_n)$

次プログラム：ベクトル化可能

DO 20 I=1,N

C(I)=A(I)+B(I) S1 ( 8 )

A(I)=C(I)-D(I) S2

20 CONTINUE

## データ参照関係

逐次処理のとき、

$$C(1) = A(1) + B(1)$$

$$A(1) = C(1) - D(1)$$

$$C(2) = A(2) + B(2) \quad (9)$$

$$A(2) = C(2) - D(2)$$

---

ベクトル処理のとき

$$C(1)=A(1)+B(1)$$

$$C(2)=A(2)+B(2)$$

---

(10)

$$A(1)=C(1)-D(1)$$

$$A(2)=C(2)-D(2)$$

次プログラム：ベクトル化不可能

DO 20 I=1,N

$$C(I)=A(I)+B(I) S1$$

$$A(I+1)=C(I)-D(I) S2$$

20 CONTINUE

## データ参照関係

逐次処理のとき、

$$C(1) = A(1) + B(1)$$

$$A(2) = C(1) - D(1) \quad (12)$$

$$C(2) = A(2) + B(2)$$

$$A(3) = C(2) - D(2)$$

ベクトル処理のとき

$$C(1) = A(1) + B(1)$$

$$C(2) = A(2) + B(2)$$

---

(13)

$$A(2) = C(1) - D(1)$$

$$A(3) = C(2) - D(2)$$

次プログラム：S1とS2が逆とすると、  
ベクトル化可能

```
DO 20 I=1,N  
C(I)=A(I)+B(I) S1(14)  
E(I)=C(I+1)-D(I) S2  
20 CONTINUE
```

( 1 ) データ依存

フロー依存

出力依存

リネーミング ( renaming )

逆依存

( a ) 同一反復内でのデータ依存 ( ループ独立依存 )

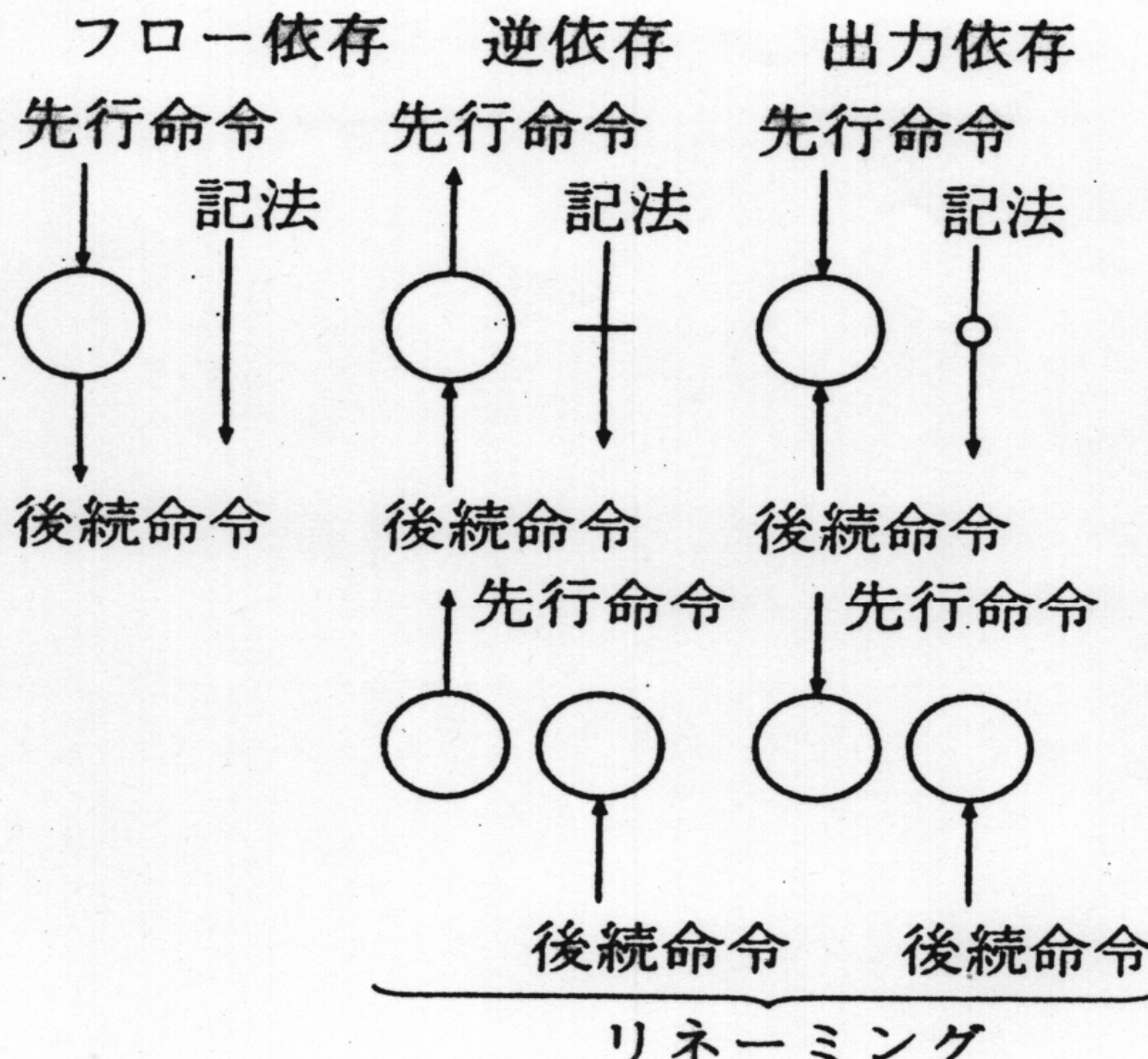
D0 10 I=1,N

A(I)=B(I)+C(I) S1

 D(I)=A(I)+B(I) S2

10 CONTINUE

A : ループ独立のフロー依存



○: 同一レジスタや同一メモリアドレス

( b ) 異なった反復間でのデータ依存  
( ループ運搬依存 )

```
DO 10 I=1,N  
  A(I+1)=B(I)+C(I)  S1  
  D(I)=A(I)+B(I)    S2
```

10CONTINUE

反復 I の S 1 で書込まれたデータ：  
反復 ( I + 1 ) の S 2 で使用  
A にループ運搬のフロー依存

DO 10 I=1,N

~~A(I-1)=B(I)+C(I)~~ S1  
D(I)=A(I)+B(I) S2

10CONTINUE

反復 I での S 1 の書き込みは

反復 ( I - 1 ) の S 2 の読み出し後

ループ運動の逆依存

## ( 2 ) データ依存関係と添字式

### ( a ) Diophantine方程式

D0 10 I=1, N

$A(I+N+1) = B(I) + C(I)$  S1

$D(I) = A(I) + B(I)$  S2

10CONTINUE

S 1 での A の書き込み領域 :

S 2 での A の読み込み領域は重ならない

フロー依存なし

$$M_{S1}=I+N+1$$

$$M_{S2}=I \quad (19)$$

$$M_{S1}(I1)=M_{S2}(I2)$$

D0 10 I=1,20

$$A(9*I+16)=B(I)+C(I)S1$$

$$D(I)=A(6*I-11)+B(I)S2$$

10CONTINUE

$$9*I1+16=6*I2-11$$

( b ) Banerjee法など、最大公約数法

$(I_1, I_2) = (1, 15), (3, 18)$  解

( 3 ) ベクトル化を可能とするDOループの変換

依存グラフ上に依存関係が全くない場合

単方向の依存関係のみ存在する場合

ベクトル化が可能

依存グラフにループ構造が存在

ベクトル化は一般的には不可能

## ループ分割 (loop distribution)

DO 20 I=1,N

C(I)=A(I)+B(I) S1

A(I)=C(I)-D(I) S2

G(I)=E(I)+F(I) S3

E(I+1)=G(I)-H(I) S4

20 CONTINUE

### 添字の分割

B(添字小) : S2で書かれた後S1で読み出し

B(添字大) : S1で呼び出された後S2で書き込まれる

DO 10 I=1,100

A(I)=B(100-I)+T S1

B(I)=C(I) S2

10 CONTINUE

添字を分割して、

DO 10 I=1,50

A(I)=B(100-I)+T S1

B(I)=C(I) S2

10 CONTINUE

DO 20 I=51,100

A(I)=B(100-I)+T S1

B(I)=C(I) S2

20 CONTINUE

## ノードスプリット

DO 10 I=1,N

$$\begin{array}{ll} A(I) = B(I) + C(I) & S1 \\ D(I) = A(I) + A(I+1) & S2 \end{array}$$


10 CONTINUE

S1 から S2 に A(I) でフロー依存、

S2 から S1 に A(I+1) で逆依存

リネーム

$$\begin{array}{l} T(I) = B(I) + C(I) \\ D(I) = T(I) + A(I+1) \\ A(I) = T(I) \end{array}$$

DO 10 I=1,N

TEMP(I)=A(I+1) S0

A(I)=B(I)+C(I) S1

D(I)=A(I)+TEMP(I) S2

10 CONTINUE

S0 から S2 へのフロー依存、

S1 から S2 へのフロー依存

ループ消滅

## スカラエクスパンジョン

DO 10 I=1,N

$T = A(I) * B(I)$  S1

$C(I) = T + B(I)$  S2

10 CONTINUE

S1 から S2 への T に関するフロー依存、

S2 から S1 への T に関する逆依存

DO 10 I=1,N

$TEMP(I) = A(I) * B(I)$  S1

$C(I) = TEMP(I) + B(I)$  S2

10 CONTINUE

```

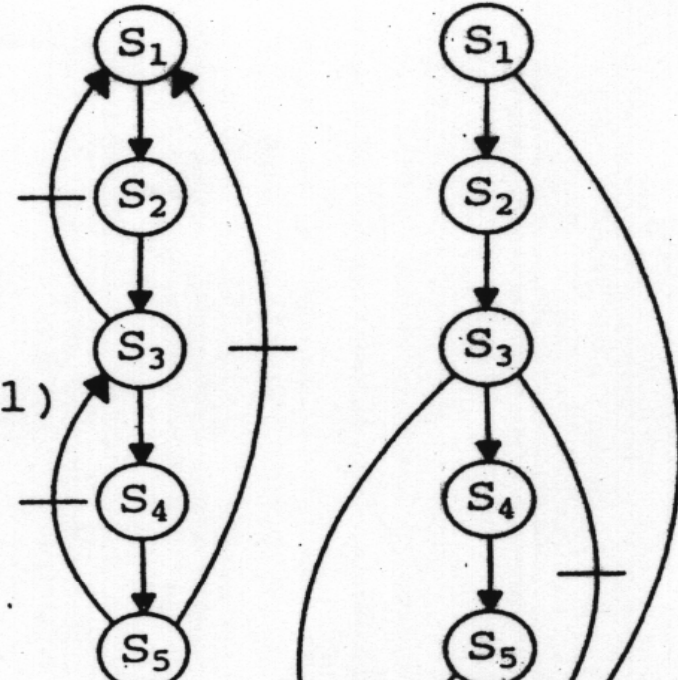
DO 10 I=1, N
S1
S2
S3
S4
S5
      A(I)=B(I)+C(I)
      D(I)=A(I)+1.0
      E(I)=D(I)+A(I+1)
      F(I)=E(I)+1.0
      G(I)=F(I)+E(I+1)+A(I+1)
10  CONTINUE

```

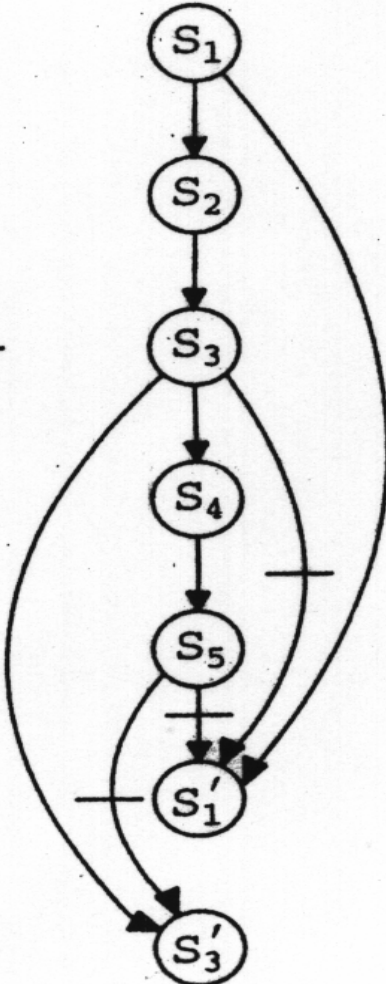
```

DO 10 I=1, N
S1
S2
S3
S4
S5
S1' 
S3' 
      T1(I)=B(I)+C(I)
      D(I)=T1(I)+1.0
      T2(I)=D(I)+A(I+1)
      F(I)=T2(I)+1.0
      G(I)=F(I)+E(I+1)+A(I+1)
      A(I)=T1(I)
      E(I)=T2(I)
10  CONTINUE

```



(a)



(b)

## 4.3.2 値依存

IF文を含むDOループのベクトル化

マスク付き演算、収集拡散、リストベクトルなど

DO 10 I 1,N

IF A(I)=B(I)

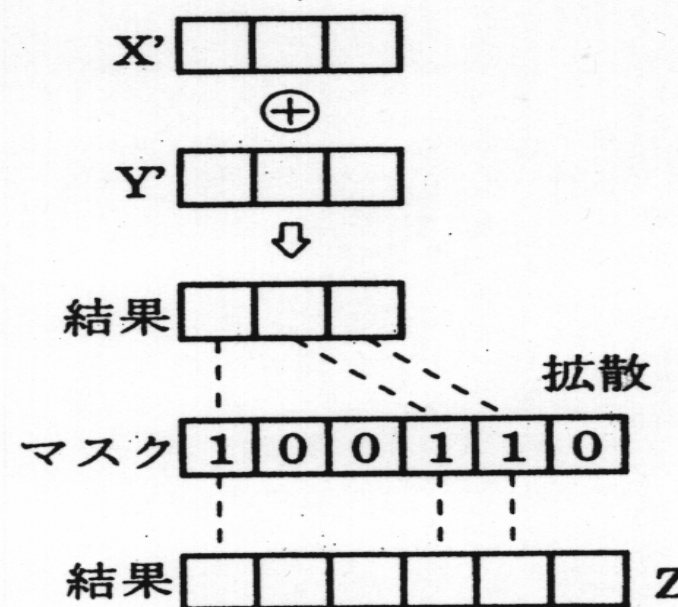
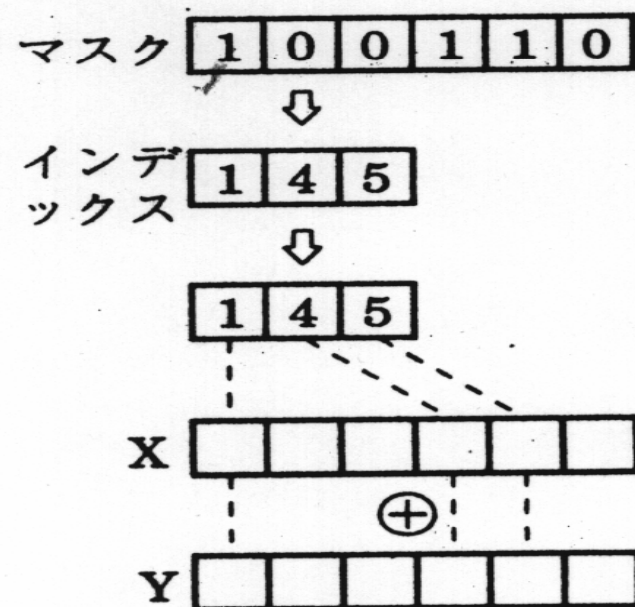
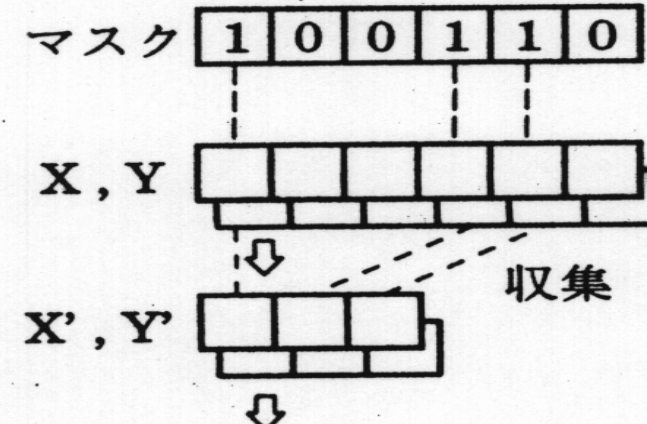
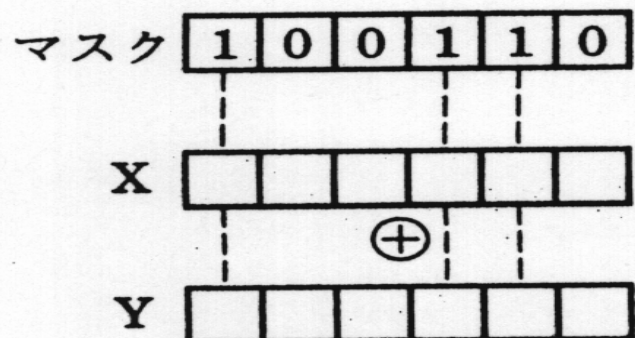
Z(I)=X(I)+Y(I)

10 RETURN

```

DO 10 I=1, N
IF (A(I).EQ.B(I)) Z(I)=X(I)+Y(I)
10 CONTINUE

```



マスク : A(I).EQ. B(I)の時1

### 4.3.3 マクロ演算のベクトル化 フロー依存のサイクルがある場合

```
DO 20 I=1,N
  C(I)=A(I)+B(I)      S1
  A(I+1)=C(I)-D(I)   S2
20 CONTINUE
```

#### (1) マクロ演算の種類

- ・内積型演算( $S=S+A_i \times B_i$ )
- ・総和型演算( $S=S+A_i$ )
- ・最大値最小値演算
- ・漸化式( $X_i=A_i+X_{i-1} \times B_i$ )

## 総和型演算

$S=0$

DO 10 I=1,N (29)

$S=S+A(I)$  S1

10 CONTINUE

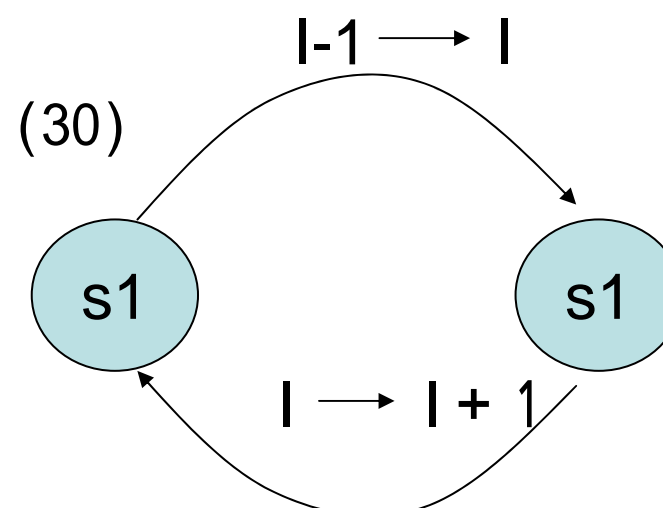
## 部分和 (プレフィックス演算)

$S(0)=0$

DO 10 I=1,N

$S(I)=S(I-1)+A(I)$  S1

10 CONTINUE



( a ) 総和演算器のないコンピュータ

$\log N$ 回のベクトル演算

$N$ 個のデータの隣りあうデータ同士の加算

( ベクトル長  $N/2$  )

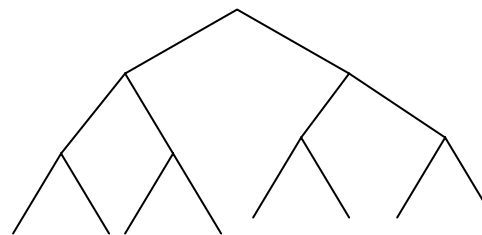
その結果の隣あうデータ同士の加算

( ベクトル長  $N/4$  )

$$T = \tau(N/2 + N_{1/2}) + \tau(N/4 + N_{1/2}) + \dots + \tau(2 + N_{1/2})$$

$$= \tau(N_{1/2} \log N + N(1 - 1/N))$$

$N=1024, N_{1/2}=100$ の場合：

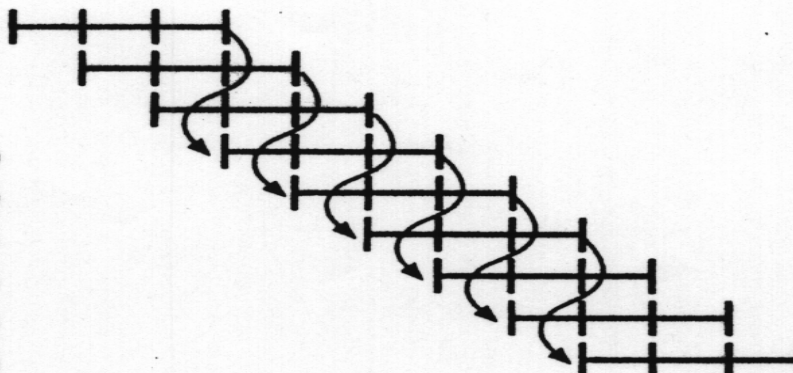


最大性能の約半分の性能

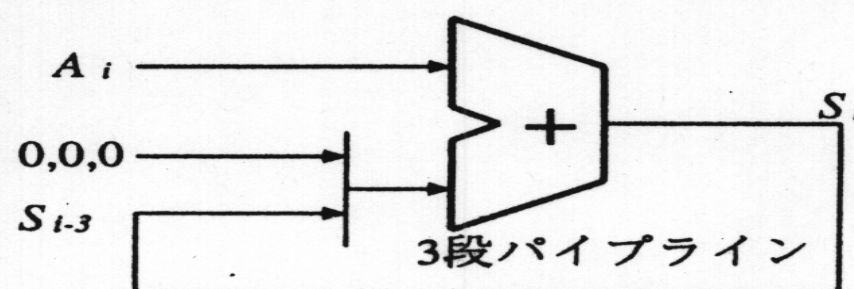
( b ) 総和演算装置を装備したベクトルコンピュータ

$$T = \tau (N + N_{1/2})$$

$$\begin{aligned} S(0) &= 0 + A(0) \\ S(1) &= 0 + A(1) \\ S(2) &= 0 + A(2) \\ S(3) &= S(0) + A(3) \\ S(4) &= S(1) + A(4) \\ S(5) &= S(2) + A(5) \\ S(6) &= S(3) + A(6) \\ S(7) &= S(4) + A(7) \\ S(8) &= S(5) + A(8) \end{aligned}$$



(a) 総和演算のためのパイプライン



(b) 総和演算のためのハードウェア

## ( 2 ) サイクリックリダクション法

並列処理向きアルゴリズム

漸化式

$$X_i = A_i X_{i-1} + D_i \quad ( 33 )$$

ただし、 $2 \leq i \leq N$ 、 $X_1$ は既知 ( 33 ) より、

$$X_{i-1} = A_{i-1} X_{i-2} + D_{i-1} \quad ( 34 )$$

( 33 ) に代入して、

$$X_i = A_i A_{i-1} X_{i-2} + D_i + A_i D_{i-1} \quad (35)$$

これより、

$$X_i = A_i A_{i-1} (A_{i-2} A_{i-3}) X_{i-4} + D_i + A_i D_{i-1} + A_i A_{i-1} (D_{i-2} + A_{i-2} A_{i-3}) \quad i - 2^l \geq 1, \\ (36)$$

一般に、

$$X_i = A_i^{(1)} X_{i-2^l} + D_i^{(1)} \quad (37)$$

とすると、(37)より、

$$X_{i-2^l} = A_{i-2^l}^{(1)} X_{i-2^{l+1}} + D_{i-2^l}^{(1)} \quad (38)$$

(37)、(38)より、

$i \leq N$  より

$2^l + 1 \leq i \leq N$

$2 \leq i \leq 2^l$  で

$X_{i-2^l} = 0,$

$X_i = D_i^{(l)}$

$$X_i = A_i^{(1)} A_{i-2^l}^{(1)} X_{i-2^l} + D_i^{(1)} + A_i^{(1)} D_{i-2^l}^{(1)} \quad (39) \quad i - 2^l \geq 1,$$

したがって、

$$A_{i-2^l}^{(1+1)} = A_i^{(1)} A_{i-2^l}^{(1)} \quad (40) \quad i \leq N \text{ より}$$

$$D_{i-2^l}^{(1+1)} = D_i^{(1)} + A_i^{(1)} D_{i-2^l}^{(1)} \quad 2^l + 1 \leq i \leq N$$

ただし、

$$A_i^{(0)} = A_i, D_i^{(0)} = D_i, \quad i = N \quad 2 \leq i \leq 2^l \quad X_i = D_i^{(l)}$$

この過程を  $\log N$  回繰り返すと、式 (37) より、

$$X_i = A_i^{(\log N)} X_{i-N} + D_i^{(\log N)} \quad (42)$$

$2 \leq i \leq N$  であるので、

$$X_{i-N} = 0, \quad (i = N)$$

よって式(42)より、

$$X_i = D^{(\log N)}_i \quad (43)$$

(43)より、 $X_i$ を求めるためには、(40)の漸化式を解けばよいことが分かる。

$A^{(1)}_i, D^{(1)}_i$ の計算( $i=0, 1, 2, \dots, (\log N)-1$ )：

ベクトル長 $N-2^1$

したがって、

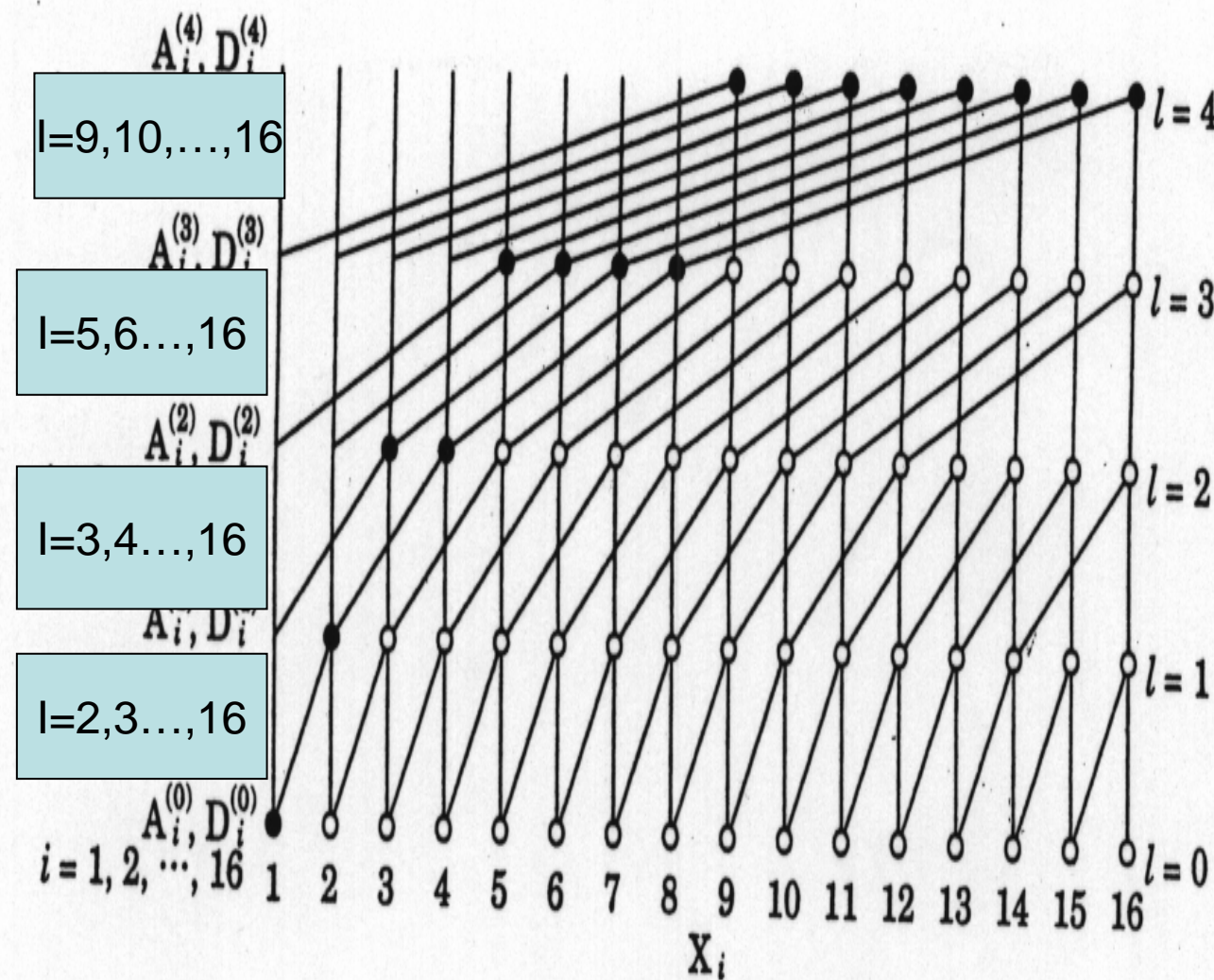
$$\begin{aligned} T &= 3\tau_v \sum_{i=0}^{(\log N)-1} (N + N_{1/2} - 2^i) \\ &= 3\tau_v (\log N) (N + N_{1/2}) \quad (44) \end{aligned}$$

汎用コンピュータ

1 ループの実行時間 :  $\tau_s$

$$T = N \tau_s$$

( 4 5 )



●, ○: 式 (40), (41) の計算  
 ● : 最終値が求まっているもの  
 (a) 並列処理向きアルゴリズム

並列計算機で  
 $\log N$  時間

## ベクトル処理向きアルゴリズム

### 前半の処理

式(40)、(41)より、 $i=2, 4, 8, \dots, N$ の

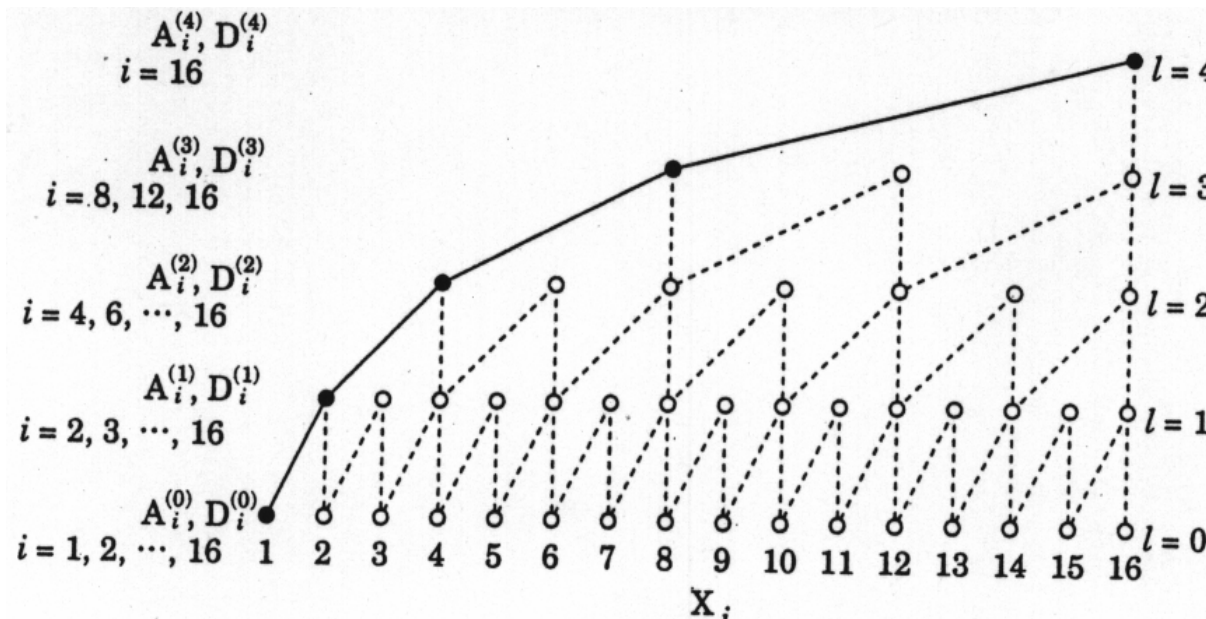
値のみ計算。

ベクトル長は $N-1, N/2-1, \dots, 1$

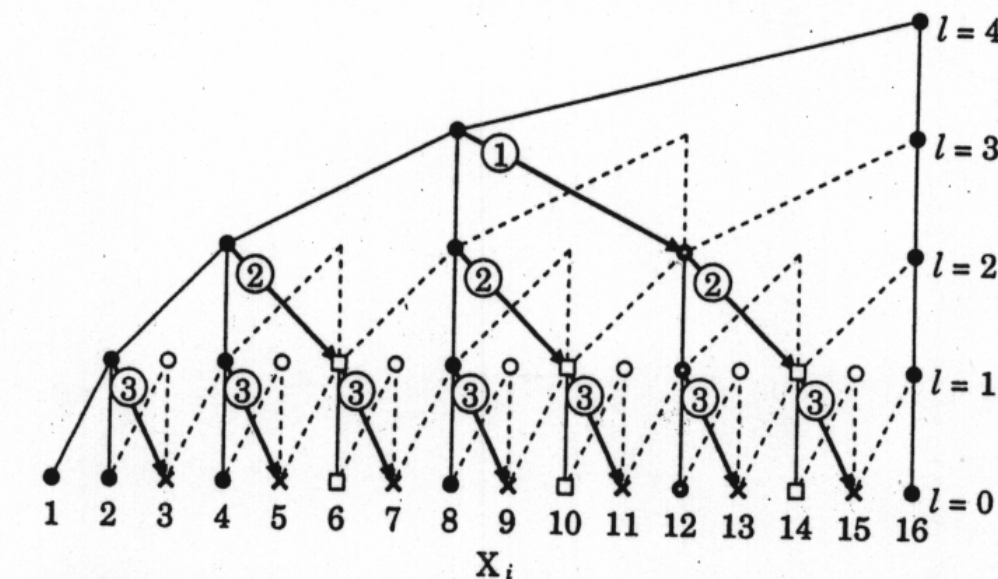
$$\begin{aligned} T &= 3\tau_v \{ (N+N_{1/2}-1) + (N/2+N_{1/2}-1) + \dots + (1+N_{1/2}-1) \} \\ &= 3\tau_v (2N + N_{1/2} \log N) \end{aligned} \quad (46)$$

## 後半の処理

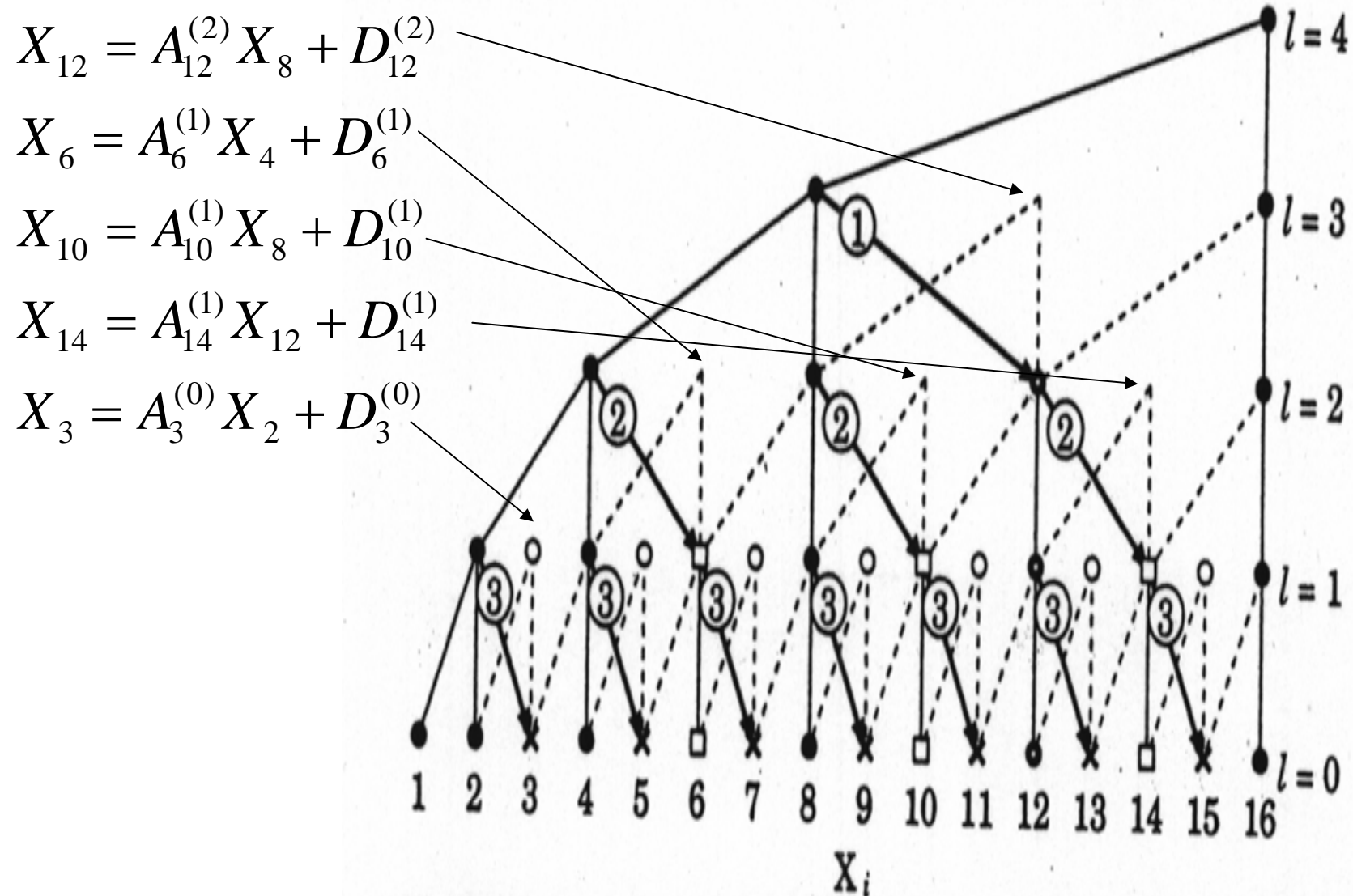
- ・前半の処理： $X_8, X_4, X_2$ の値が確定
  - ・ $X_{12}$ と $X_8$ の関係は前半で求まっているので、  
 $X_{12}$ の値が確定
  - ・ $X_4, X_8, X_{12}$ と $X_6, X_{10}, X_{14}$ の関係も前半で  
求まっているので、これらの値が定まる。
  - ・同様にして、 $X_3, X_5, X_7, X_9, X_{11}, X_{13}, X_{15}$ の値が定まる
- 計算時間： $I=3$ で1、 $I=2$ で3、  
 $I=1$ で7のベクトル長
- 1ステージ：ベクトル長 $N/2^I - 1$   
(ただし、 $I=\log N - 1, \dots, 2, 1$ )



(b) ベクトルプロセッサ向きアルゴリズム - 前半



(c) ベクトルプロセッサ向きアルゴリズム - 後半



●: 第1番目に確定, ●: 第2番目に確定, □: 第3番目に確定, ×: 第4番  
(c) ベクトルプロセッサ向きアルゴリズム - 後半

$$T = 2\tau_v \sum_{l=1}^{(\log N)-1} (N/2^l - 1 + N_{1/2})$$

$$= 2\tau_v (N + N_{1/2} \log N)$$

$$T = \tau_v (8N + 5N_{1/2} \log N) \quad (48)$$

### ( 3 ) 漸化式の高速実行のためのハードウェア

$$X_i = A_i X_{i-1} + D_i \quad ( 49 )$$

乗算：4ステージ、加算：3ステージ

$$T = 7\tau_v (N + N_{1/2})$$

方式 1

$X_i$  と  $X_{i-7}$  の関係

$$X_i = A_i A_{i-1} \cdots A_{i-7} X_{i-7} + B_i \quad ( 51 )$$

$X_1, \dots, X_7$ を初期値として解く  
方式2

式(49)より、

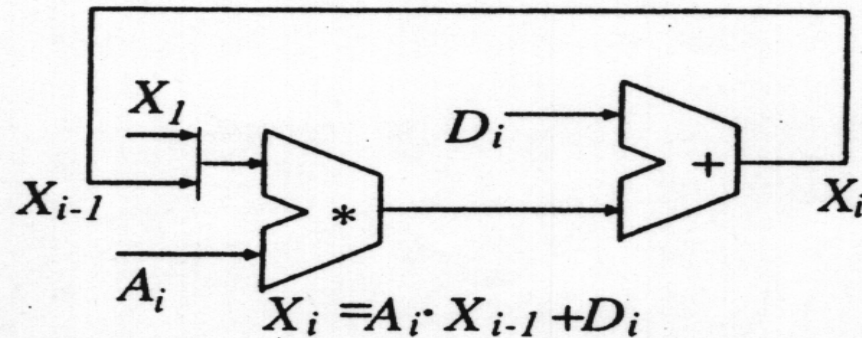
$$\begin{aligned} X_i &= X_{i-2} \cdot A_i \cdot A_{i-1} + A_i \cdot D_{i-1} + D_i \\ &= X_{i-2} \cdot E_i + F_i \end{aligned} \quad (52)$$

を $X_1, X_2$ を初期値として解く。

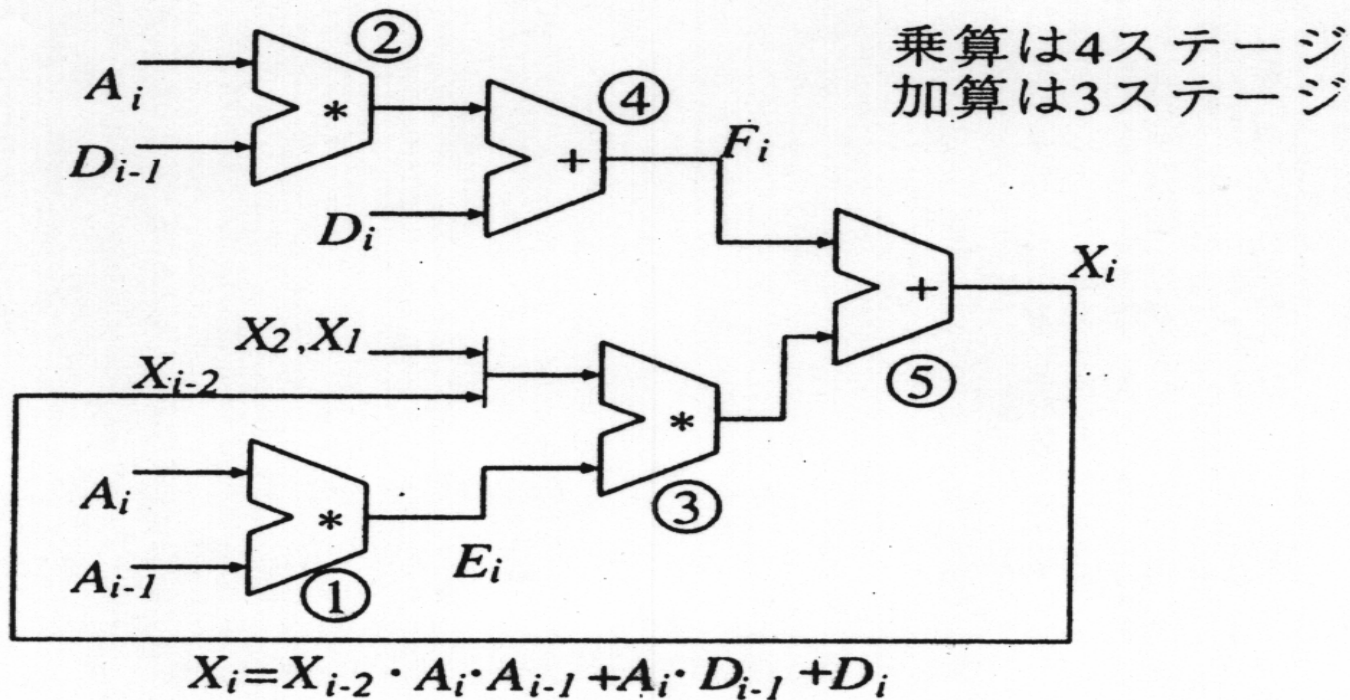
物理的な乗算器への演算投入：

の演算、の演算、の演算、

の演算、の演算、一回休、の演算



(a)  $X_i$  を逐次的に 1つずつ 求める方式



(b)  $X_i, X_{i-1}$  を連続的に 求める方式

X2

時間	1	2	3	4	5	6	7	8	9	10	11	12	13	14
乗算 パイ プラ イン	$A_3 * A_2$	$A_3 * D_2$	$A_4 * A_3$	$A_4 * D_3$	$E_3 * X_1$		$E_4 * X_1$	$A_5 * A_4$	$A_5 * D_4$	$A_6 * A_5$	$A_6 * D_5$	$X_3 * E_5$		$X_4 * E_6$
		$A_3 * A_2$	$A_3 * D_2$	$A_4 * A_3$	$A_4 * D_3$	$E_3 * X_1$		$E_4 * X_1$	$A_5 * A_4$	$A_5 * D_4$	$A_6 * A_5$	$A_6 * D_5$	$X_3 * E_5$	
			$A_3 * A_2$	$A_3 * D_2$	$A_4 * A_3$	$A_4 * D_3$	$E_3 * X_1$		$E_4 * X_1$	$A_5 * A_4$	$A_5 * D_4$	$A_6 * A_5$	$A_6 * D_5$	$X_3 * E_5$
				$A_3 * A_2$	$A_3 * D_2$	$A_4 * A_3$	$A_4 * D_3$	$E_3 * X_1$		$E_4 * X_1$	$A_5 * A_4$	$A_5 * D_4$	$A_6 * A_5$	$A_6 * D_5$

					$F_3$		$F_4$	$X_3$		$X_4$		$F_5$	
						$F_3$		$F_4$	$X_3$		$X_4$		$F_5$
							$F_3$		$F_4$	$X_3$		$X_4$	

時間	15	16	17	18	19	20	21	22	23	24	25	26	27	28
乗算 パイ プラ イン	$A_7 * A_6$	$A_7 * D_6$	$A_8 * A_7$	$A_8 * D_7$	$X_5 * E_7$		$X_6 * E_8$							
	$X_4 * E_6$	$A_7 * A_6$	$A_7 * D_6$	$A_8 * A_7$	$A_8 * D_7$	$X_5 * E_7$		$X_6 * E_8$						
		$X_4 * E_6$	$A_7 * A_6$	$A_7 * D_6$	$A_8 * A_7$	$A_8 * D_7$	$X_5 * E_7$		$X_6 * E_8$					
	$X_3 * E_5$		$X_4 * E_6$	$A_7 * A_6$	$A_7 * D_6$	$A_8 * A_7$	$A_8 * D_7$	$X_5 * E_7$		$X_6 * E_8$				

$F_6$	$X_5$		$X_6$		$F_7$		$F_8$	$X_7$		$X_8$				
	$F_6$	$X_5$		$X_6$		$F_7$		$F_8$	$X_7$		$X_8$			
$F_5$		$F_6$	$X_5$		$X_6$		$F_7$		$F_8$	$X_7$		$X_8$		

図 4.15 漸化式の高速計算

乗算パイプライン

時間	1	2	3	4	5	6	7	8	9	10	11	12	13	14
	$A_3 \cdot A_2$	$A_3 \cdot D_2$	$A_4 \cdot A_3$	$A_4 \cdot D_3$	$E_3 \cdot X_1$		$E_4 \cdot X_1$	$A_5 \cdot A_4$	$A_5 \cdot D_4$	$A_6 \cdot A_5$	$A_6 \cdot D_5$	$X_3 \cdot E_5$		$X_4 \cdot E_6$
		$A_3 \cdot A_2$	$A_3 \cdot D_2$	$A_4 \cdot A_3$	$A_4 \cdot D_3$	$E_3 \cdot X_1$		$E_4 \cdot X_1$	$A_5 \cdot A_4$	$A_5 \cdot D_4$	$A_6 \cdot A_5$	$A_6 \cdot D_5$	$X_3 \cdot E_5$	
			$A_3 \cdot A_2$	$A_3 \cdot D_2$	$A_4 \cdot A_3$	$A_4 \cdot D_3$	$E_3 \cdot X_1$		$E_4 \cdot X_1$	$A_5 \cdot A_4$	$A_5 \cdot D_4$	$A_6 \cdot A_5$	$A_6 \cdot D_5$	$X_3 \cdot E_5$
				$A_3 \cdot A_2$	$A_3 \cdot D_2$	$A_4 \cdot A_3$	$A_4 \cdot D_3$	$E_3 \cdot X_1$		$E_4 \cdot X_1$	$A_5 \cdot A_4$	$A_5 \cdot D_4$	$A_6 \cdot A_5$	$A_6 \cdot D_5$

X2

加算パイプライン

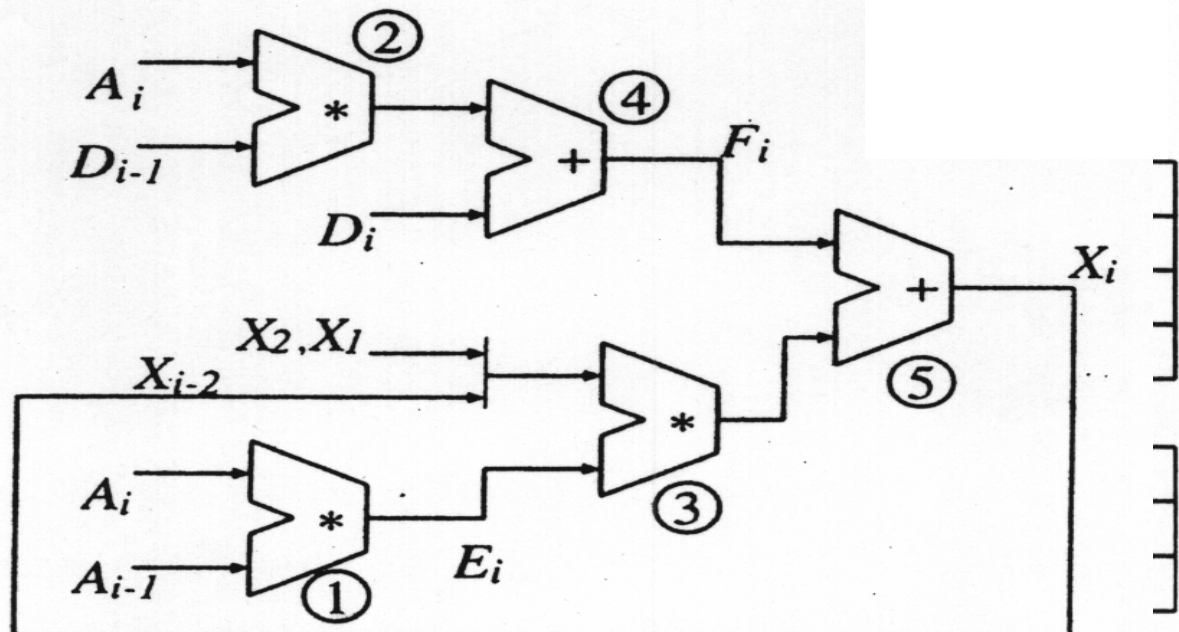
					$F_3$		$F_4$	$X_3$		$X_4$		$F_5$	
						$F_3$		$F_4$	$X_3$		$X_4$		$F_5$
							$F_3$		$F_4$	$X_3$		$X_4$	

乗算パイプライン

時間	15	16	17	18	
	$A_7 \cdot A_6$	$A_7 \cdot D_6$	$A_8 \cdot A_7$	$A_8 \cdot D_7$	X
	$X_4 \cdot E_6$	$A_7 \cdot A_6$	$A_7 \cdot D_6$	$A_8 \cdot A_7$	A
	$X_4 \cdot E_6$	$A_7 \cdot A_6$	$A_7 \cdot D_6$	A	
	$X_3 \cdot E_5$		$X_4 \cdot E_6$	$A_7 \cdot A_6$	A

加算パイプライン

$F_6$	$X_5$		$X_6$
	$F_6$	$X_5$	
$F_5$		$F_6$	$X_5$



$$X_i = X_{i-2} \cdot A_i \cdot A_{i-1} + A_i \cdot D_{i-1} + D_i$$

#### 4.3.4多重ループの ベクトル化

(1) DOループの入替え(ループエクスチェンジ)

DO 10 I=1,N

DO 10 J=2,N

$$ZA(I,J) = PA(I,J-1) + PB(I,J) \quad (53)$$

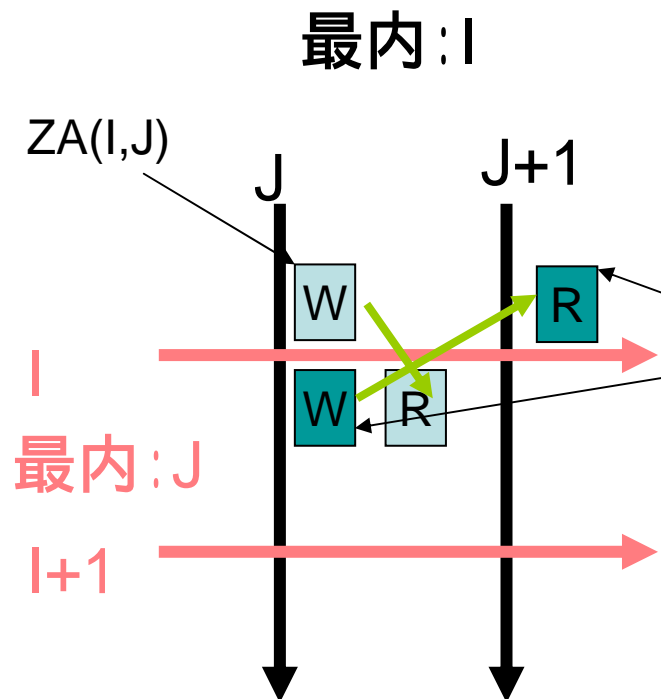
$$PA(I,J) = ZA(I,J) \times PC(J)$$

10 CONTINUE

最内ループ: J について PA で

データ参照関係不適

# ループの入れ替え



最内Jではベクトル化不可

PA( $I, J$ ) : ( $I, J$ )で定義され, ( $I, J+1$ )で引用

## 4.3.4 多重ループのベクトル化

(1) DOループの入れ替え (ループエクスチェンジ)

DO 10 I=1,N

DO 10 J=2,N

$$ZA(I, J) = PA(I, J-1) + PB(I, J) \quad (53)$$

$$PA(I, J) = ZA(I, J) \times PC(J)$$

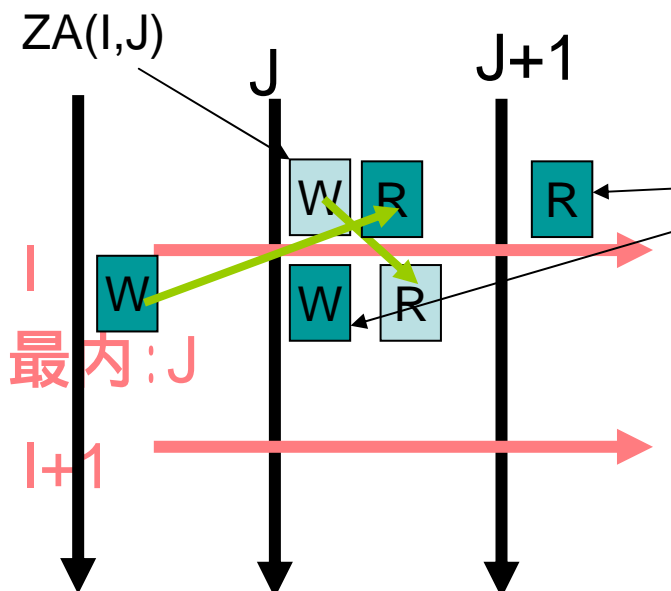
10 CONTINUE

最内ループ: J について PA で

データ参照関係不適

# ループの入れ替え

最内:I



最内Iではベクトル化可能

$PA(I,J)$ : (I,J)で定義され, (I,J+1)で引用

ループの入れ換え

DO 10 J=2,N

DO 10 I=1,N

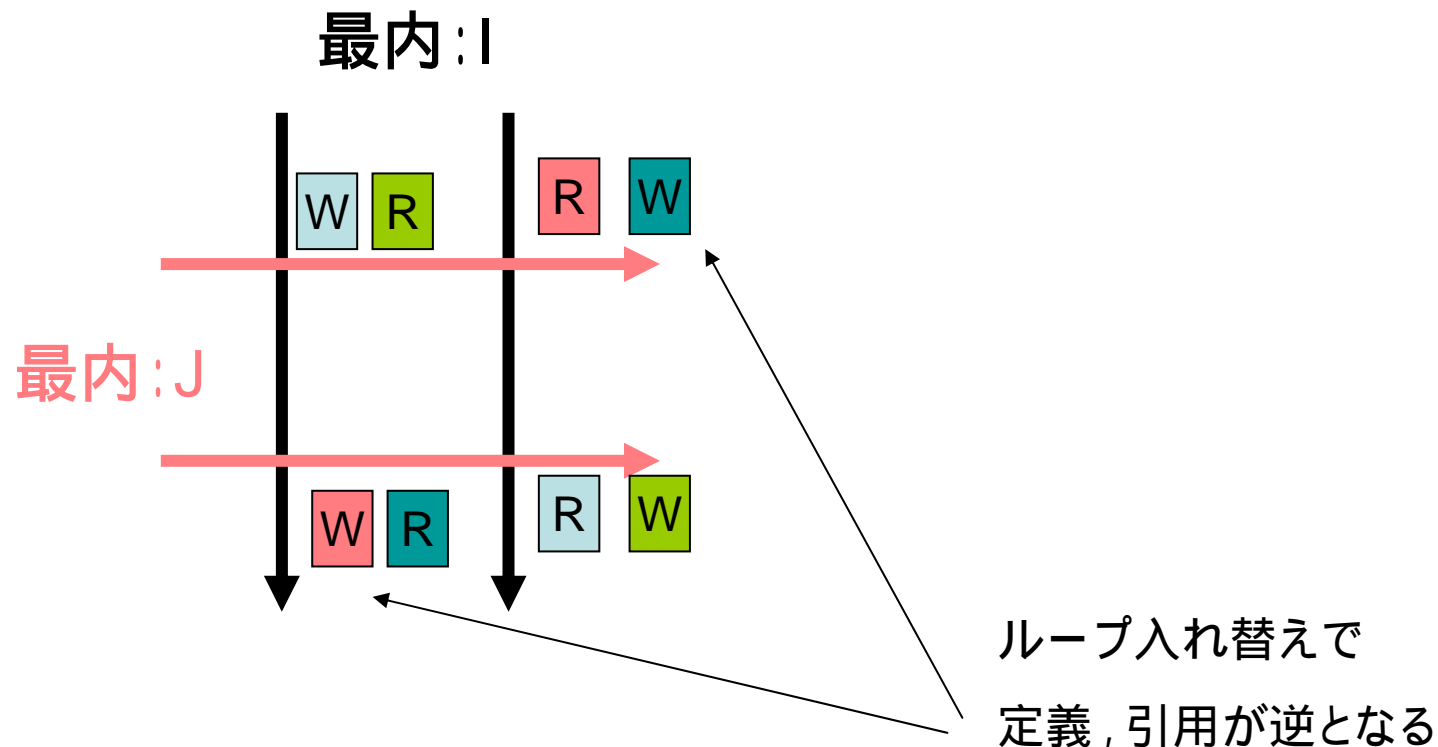
$ZA(I,J)=PA(I,J-1)+PB(I,J)$  (54)

$PA(I,J)=ZA(I,J)\times PC(J)$

10 CONTINUE

最内ループ: ベクトル化可能

# ループの入れ替え



## ループの入れ換え

DO 10 J=2,N

DO 10 I=1,N

$$ZA(I,J) = PA(I,J-1) + PB(I,J) \quad (54)$$

$$PA(I,J) = ZA(I,J) \times PC(J)$$

10 CONTINUE

**最内ループ** : ベクトル化可能

( 2 ) 多重ループの一重化：  
ループ崩壊 ( loop collapsing )

DO 10 I=1,4 (55)

DO 10 J=1,4

A(I,J)=B(I,J)

10 CONTINUE

DO 10 K=1,16

A(K)=B(K)

10 CONTINUE

DO 10 I=1,100 (56)

DO 10 J=1, I

A(I,J)=B(I,J)+C

10 CONTINUE

A, B の下三角部分に対してのみ処理

A, B の下三角部分の各要素アドレス：

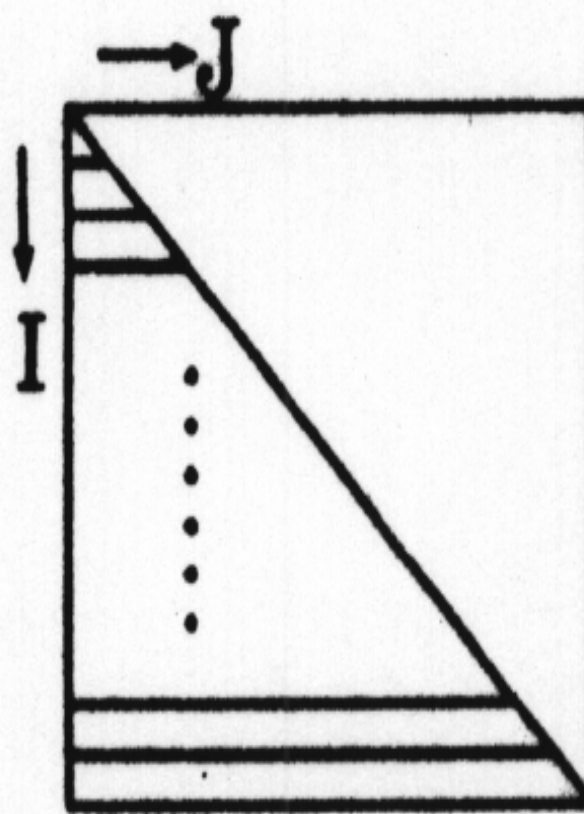
リストベクトル

IX=(AD<sub>11</sub>, AD<sub>21</sub>, AD<sub>22</sub>, AD<sub>31</sub>, ..., AD<sub>1001</sub>, ..., AD<sub>100100</sub>) (57)

DO 10 I=1,5050

A(IX(I))=B(IX(I))+C (58)

10 CONTINUE



$A(I, J)$ ,  $B(I, J)$  のアクセス領域

( 3 ) 一重ループの多重化 (ストリップマイニング)

ベクトルプロセッサの並列処理

非常に長いベクトルの分割

( 4 ) 多重ループのアンローリング

DO 10 J=1,N

DO 10 I=1,M (59)

10 A(I)=A(I)+B(I,J)/X(J)

DO 10 J=1,N-1,2

DO 10 I=1,M

10 A(I)=A(I)+B(I,J)/X(J)+B(I,J+1)X(J+1)

(60)

( 5 ) ウェーブフロント化

DO 10 I=2,100

DO 20 J=2,100

(61)

$A(I, J) = A(I, J-1) + A(I-1, J)$

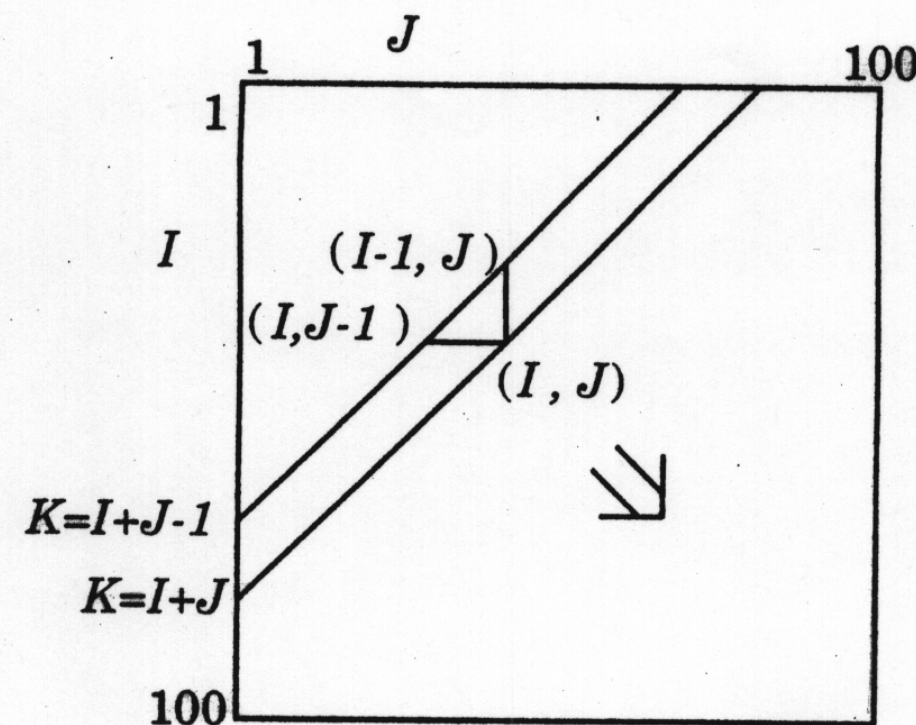
20 CONTINUE

10 CONTINUE

I+1行 : I行の値を用いた回帰演算で計算

ウェーブフロント ( 波頭 )

$K=I+J-1$



# ベクトルコンピュータの将来

- CRAY-1 以降 1900年代半ばまで席巻
- ゲーム機プレステ2で採用
- さまざまな技術の集積
- ベクトルコンピュータ技術：  
あまり売れない  
ドライビングフォース→汎用機の高速化

## 地球シミュレータの性能の位置づけ

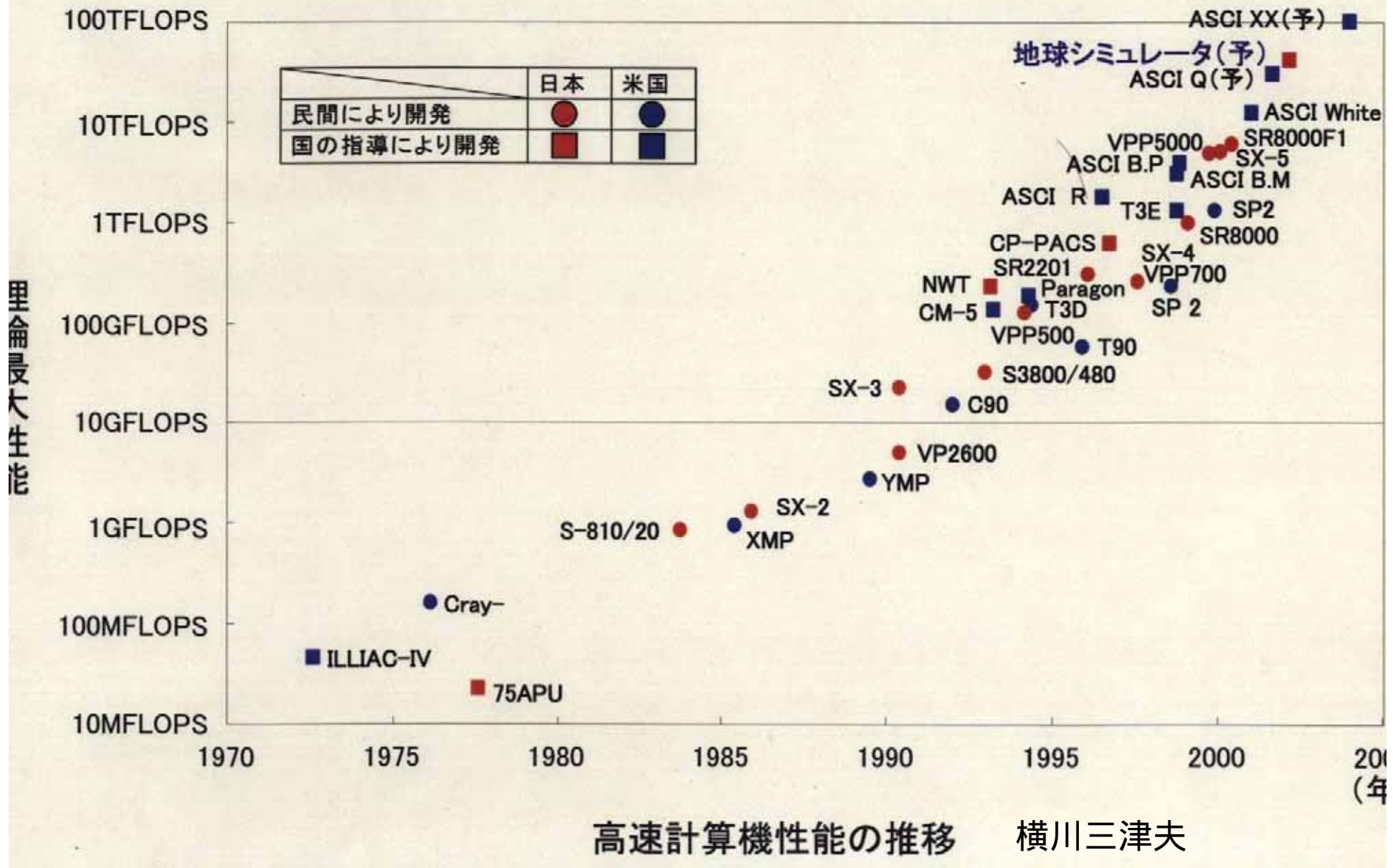


表 2.5 ASCI プラットフォームの概要

名称	Red	Blue Pacific	Blue Mountain	White	T30
設置研究所	Sandia	Lawrence Livermore	Los Alamos	Lawrence Livermore	Los Alamos
メーカー	Intel	IBM	SGI	IBM	未定
使用 MPU	9,536×Pentium II Xeon	5,856×Power PC	Origin2000 MIPS R10000	8,192×Power 3-II	未定
目標性能	1.8Tflops メモリ 606GB Disk 容量 40TB	3.1Tflops メモリ 2.6TB Disk 容量 75TB	3.1Tflops メモリ 2.5TB Disk 容量 75TB	10.2Tflops メモリ 2.5TB Disk 容量 75TB	30 + Tflops
実績	3.2Tflops ('99/10月)	3.9Tflops ('98/10月)	3.1Tflops ('98年)	— — —	— — —

(注意) 性能はピーク性能値である。

# 日米 スパコン計算 最速でしのぎ 用途拡大で躍起

毎秒35兆回→360兆回・1000兆回へ

科学技術計算に利用されるスーパーコンピューター(スパコン)で、日米間の世界最速争いに拍車が掛かっている。スパコンはヒトのゲノム(全遺伝情報)を活用した医療研究などに用途が広がってきた上、国防上も重要な役割を果たすためだ。最速マシンを日本製に奪われた米国側がナンバーワン奪回へ躍起になっている。

「日本は科学技術計算で新時代を切り開いた」とで称賛されるべきだが、米国が新時代に遅れてはならない」。エーブラハム米エネルギー長官は今月10日、ワシントンで講演で世界最速を誇る日本の「地球シミュレータ」(ES)を引き合いにし、最速の座を取戻すと強調した。

IBM製マシンの毎秒七・三五六兆回だっただけに、「衝撃的な数字」(米ニューヨーク・タイムズ紙)だ。米国の科学者らが今月中旬にまとめた最新のスパコン上位五百機リストでも、ESは登場以来の首位を堅持、二位の米ヒューレット・パッカード製マシンの三倍近い能力となっている。ただ、IBMは遺伝子からつくられる、たんばく質の構造解析などに利用するため、毎秒一〇〇

兆回規模の計算能力を備えたスパコン開発計画を一九九九年から推進中。〇二年には計画の一環として、米エネルギー省と共同で「ブルー・ジーン青い遺伝子」(Large Ensemble Genome)と呼ぶスパコン開発打ち出している。目標とする力は毎秒三百六十兆回。

既に小型試作機が完成し、IBMは最新ランクングで試作機が七十三位に入ったとアピール。〇五年の完成時にはトップになる」と首位奪還を予告している。

システム設計の立場からの性能限界と衰退理由

パイプラインのピッチの高速化限界

メモリ：集中制御

512～1024ウェイのインタリーブ方式

（メモリを多数のバンクで構成する方式）

ECL (Emitter Coupled Logic) 素子の使用

10GFLOPS性能のシステム：数百から数千kW

マルチプロセッサの性能向上

ベクトルプロセッサ開発の二重投資

NECのみ奮闘

システム設計者からみた要因

マイクロプロセッサの驚異的高速化と低価格化

1 GFLOPSの性能を有するプロセッサ

1000個でピーク性能で1TFLOPS

プロセッサ10万円、1000個で1億円

低電力

CMOS素子利用、消費電力：1台当たり10W程度

1000台のマルチプロセッサ：10kW程度

必要悪としてのユーザへの押付け

1 TFLOPSの要求：

実現可能システムはマルチプロセッサ方式

以外ない？？